

บทที่ 2 ทฤษฎีและงานวิจัยที่เกี่ยวข้อง

2.1 วัสดุไทดeneiyam

ไทดeneiyamผลิตจากไทดeneiyamไดออกไซด์ (TiO_2) โดยการเปลี่ยน TiO_2 ให้เป็น ไทดeneiyamเตตระคลอไรด์ ($TiCl_4$) และจะถูกเปลี่ยนไปเป็นโลหะไทดeneiyamอิกต่อไปโดยใช้โซเดียมหรือแมกนีเซียมเป็นตัวลดคลอไรด์ ไทดeneiyamที่ได้จะจับตัวกันเป็นก้อนมีรูพรุนคล้ายฟองน้ำ (Sponge) จะถูกนำไปหลอมเพื่อทำเป็นไทดeneiyamบริสุทธิ์หรือโลหะผสมต่อไปโดยกระบวนการหลอมแบบอาร์คในสัญญาากาช ไทดeneiyamมีคุณสมบัติในการด้านทานการกัดกร่อนที่ดีมาก มีความแข็งแรงจำเพาะสูง และมีคุณสมบัติหลายอย่างคือมากที่อุณหภูมิสูง ความแข็งแรงอาจมีได้สูงถึง 200,000 psi ความหนาแน่น $4,505 \text{ g/cm}^3$ มีสมบัติทางกลที่ดีเยี่ยม ไทดeneiyamเมื่อทำปฏิกิริยา กับออกซิเจน ได้ TiO_2 ที่เป็นฟิล์มนบางๆ ปกป้องผิวชั้งหนึ่งของการกัดกร่อน ได้ดีมากจนถึงอุณหภูมิ 535°C หากอุณหภูมิสูงกว่านี้ ออกไซด์ฟิล์มจะถูกทำลายและจะตอนของคาร์บอน ออกซิเจน ในโตรเจน หรือไฮโตรเจน จะทำให้ไทดeneiyamเกิดการแตกร้าวขึ้นได้ เนื่องจากไทดeneiyamทนการกัดกร่อนได้ดี จึงถูกนำมาใช้เป็นอุปกรณ์ที่ต้องเกี่ยวข้องกับสารเคมี อุปกรณ์ที่เกี่ยวข้องกับน้ำทะเล ชิ้นส่วนอวบะะเที่ยมหรืออุปกรณ์ทางการแพทย์ที่ถูกฝังไว้ในร่างกายมนุษย์ เช่น ข้อต่อสะโพก [6]

2.2 การเคลือบฟิล์มบาง

ฟิล์มบาง หมายถึง ชั้นของอะตอมหรือกลุ่มของอะตอมที่มาจับรวมกันเป็นชั้นบางๆ โดยขนาดความหนาของฟิล์มที่จะระบุว่าเป็นฟิล์มบางนั้นเป็นเรื่องที่ค่อนข้างยุ่งยาก อย่างไรก็ดีปัจจุบัน ได้มีวิธีระบุว่า ฟิล์มมีความหนาเท่าใดจึงเรียกว่าฟิล์มบาง โดยพิจารณาจากการใช้งานฟิล์มนั้นว่าใช้งานด้วยสมบัติ ด้านใด ก่อวายคือถ้าเป็นการใช้สมบัติเชิงผิวที่จะเรียกฟิล์มนั้นว่าฟิล์มบาง (Thin film) แต่ถ้าใช้ฟิล์มนั้น ด้วยสมบัติเชิงปริมาตรที่จะเรียกว่าฟิล์มหนา (Thick film) ซึ่งจะพบว่าฟิล์มเดียวกันนั้นอาจเป็น ฟิล์มบาง หรือ ฟิล์มหนา ก็ได้ขึ้นอยู่กับลักษณะการใช้งานเป็นสำคัญ [7] พื้นฐานของขั้นตอนการเคลือบฟิล์มคือ ฟิล์มบางนั้นเป็นการเรียงตัว (Fabricated) โดยการตกเคลือบ (Deposition) ของสารเคลือบจากเป้าสารเคลือบ (Target) ในลักษณะของอะตอมเดี่ยวบนวัสดุรองรับ (Substrate) โดยฟิล์มที่ได้จะบางมาก ปัจจุบันมีการประยุกต์ใช้ฟิล์มในด้านต่างๆ มากมาย เช่น อุปกรณ์ทางอิเล็กทรอนิกส์ เช่นสารกึ่งตัวนำ ฟิล์มตัวนำและฟิล์มตัวด้านทานหรืออุปกรณ์ทางแสง เช่น เลนส์ กระจกเลเซอร์ กระจกสะท้อนแสง [8]

กรรมวิธีพิวติ (PVD = Physical Vapor Deposition) เป็นวิธีการแยกตัวทางฟิสิกส์จากเฟสของไออกา เคลือบฟิล์มนบาง (Thin film) ในสูญญากาศ โดยพื้นฐานแล้ว การเคลือบฟิล์มนบางคือ การเรียงตัวกันของอะตอมสารเคลือบนวัสดุรองรับ (Substrate) จนเกิดเป็นชั้นของสารเคลือบในลักษณะของฟิล์มนบาง ซึ่งฟิล์มน้ำที่เกิดขึ้นนั้นจะบางมาก ซึ่งอาจอยู่ในระดับนาโนเมตรถึงไมโครเมตร นอกจากนี้ยังสามารถใช้การเคลือบฟิล์มนบางในการเตรียมสารตัวอ่อนสำหรับใช้ในการศึกษาสมบัติทางกายภาพของวัสดุในรูปของฟิล์มนบาง ซึ่งคุณสมบัตินางอย่างไม่สามารถวัดได้เมื่อยู่ในสภาพเป็นก้อน เพราะจะน้ำข้อมูลเหล่านี้มีประโยชน์อย่างมากต่อการพัฒนาวัสดุเพื่อนำไปใช้ในอุตสาหกรรมโดยกระทำด้วยวิธีการทำเป็นไอในสูญญากาศ วิธีการอะตอมไนเชชัน (Atomization) จะมีการนำโลหะที่จะทำปฏิกิริยาแยกตัว (สภาพของแข็ง) และชั้นงานให้ไปอยู่ในเดาวร้อนกัน เมื่อมีการทำให้โลหะกล้ายเป็นไอหรือการทำอะตอมไนเชชันแล้วอะตอมโลหะที่อยู่ในสูญญากาศจะแยกตัวมาเคลือบนผิวชั้นงานที่อุณหภูมิต่ำกว่า 550°C ส่วนการประกอบด้วยไออ่อนนั้นจะให้ชั้นงานเป็นแคโทด (cathode) และวัสดุที่จะเคลือบเป็นแอนโอด (Anode) นอกจากนี้ยังจะให้ก๊าซปฏิกิริยา (Reaction gas) หมุนกับกรรมวิธีชีวิต (CVD = Chemical Vapor Deposition) เช่นไปแยกตัวในเตาเพื่อนำเคลือบผิวชั้นงาน วัสดุที่ใช้เคลือบจะใช้ไทเทเนียมไนไตรด์เป็นส่วนใหญ่ [9] การเคลือบฟิล์มนบางเป็นกระบวนการที่ทำให้สารเคลือบตกเคลือบลงบนผิววัสดุรองรับที่ต้องการ ซึ่งสามารถทำได้ทั้งกระบวนการทางเคมีหรือกระบวนการพิสิกส์ โดยพื้นฐานแล้วกระบวนการเคลือบฟิล์มนบางมีขั้นตอนสำคัญ 3 ขั้นตอน ดังนี้คือ

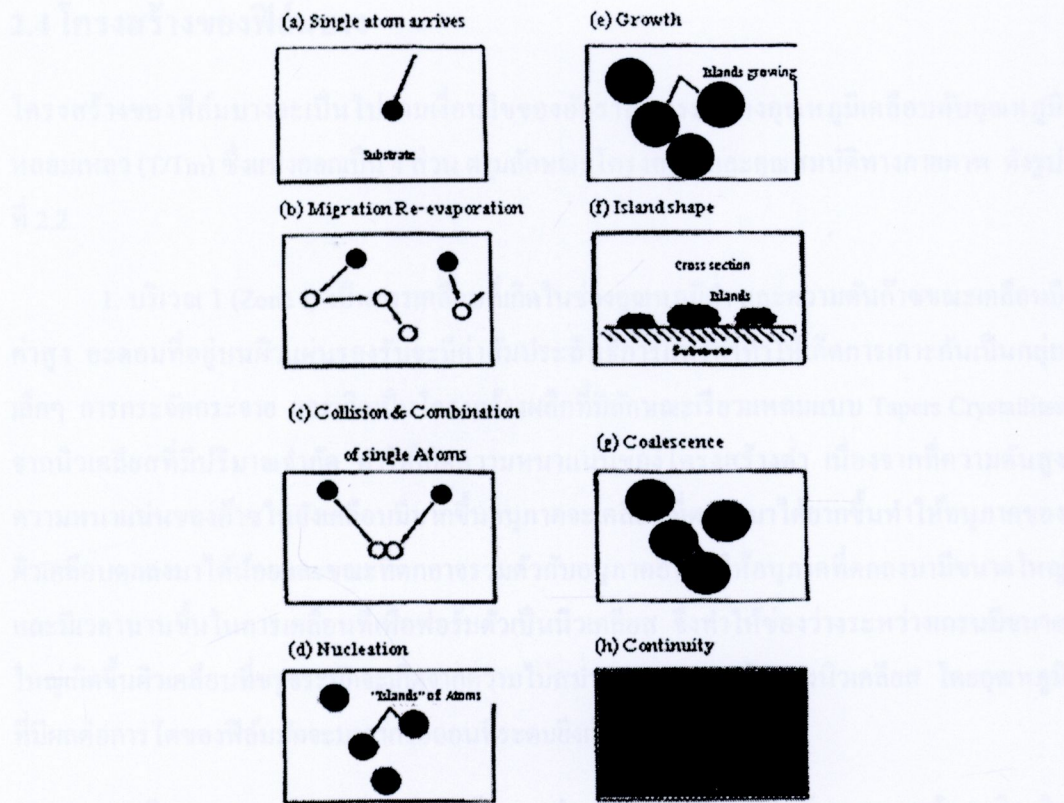
1. การสร้างสารเคลือบ (Source) โดยทั่วไปแล้วสารเคลือบอาจอยู่ในรูปของแข็งของเหลว ไอ หรือก๊าซ แต่สารเคลือบจะทำการเคลือบนั้นเป็นต้องอยู่ในรูปของไอระหว่างเหยห์ท่านั้น ซึ่งวิธีการทำให้สารเคลือบเกิดเป็นไอระหว่างเหยห์ได้คือการให้ความร้อนหรือการระดมยิงด้วยอนุภาคที่มีพลังงานสูง

2. การเคลือบข่ายสารเคลือบนาบจังวัสดุรองรับ (Transport) ในภาวะสูญญากาศระหว่างเหยห์ของสารเคลือบอาจจะมีการเคลือบที่เป็นเส้นตรง ไปยังวัสดุรองรับ หรืออาจจะเคลือบที่ไปในลักษณะของไอล ซึ่งจะทำให้ระหว่างเหยห์ของสารเคลือบมีการชนกับอนุภาคอื่นภายในภาชนะสูญญากาศ นอกจากนี้ ระหว่างเหยห์อาจจะเคลือบที่ไปยังวัสดุรองรับในลักษณะของพลาสมา

3. การควบแน่น (Deposition) เป็นการพอกพูนและโดยที่นั่นจะเป็นชั้นฟิล์มนบางบนวัสดุรองรับส่วนของการควบแน่นและพอกพูนของชั้นฟิล์มน้ำนั้น จะขึ้นกับเงื่อนไขของวัสดุรองรับหรือการทำปฏิกิริยาของสารเคลือบกับวัสดุรองรับ ความสะอาดของผิววัสดุรองรับ ตลอดจนพลังงานที่ใช้ในการเคลือบ [10]

2.3 การก่อเกิดฟิล์มนาง

สารเคลือบที่กระบวนการผิวสัมผ่องรับส่วนใหญ่จะอยู่ในรูปของอะตอมหรือโมเลกุล (รูปที่ 2.1 (a)) โดยที่พลังงานพันธะ (Bonding Energy) ระหว่างอะตอมของสารเคลือบกับวัสดุรองรับและอุณหภูมิของวัสดุรองรับจะเป็นตัวกำหนดความสามารถในการแพร่ของสารเคลือบนผิวสัมผ่องรับ อะตอมของสารเคลือบจะตกกระทบผิวสัมผูในตำแหน่งที่เรียกว่าตำแหน่งการดูดจับ (Adsorption site) และจะทำให้เกิดการเกาะติดหรือถ้ามีพลังงานมากพอ ก็อาจกระโอดขึ้นกำแพงพลังงานไปยังบริเวณที่อยู่ติดกันหรือหลุดออกจากตำแหน่งนั้นไป (รูปที่ 2.1 (b)) ในช่วงเวลาหนึ่งอะตอมสารเคลือบอาจเกิดการระเหยกลับและเกิดการรวมตัวกันระหว่างอะตอมที่มีการแพร่ด้วยกัน เมื่ออะตอมของสารเคลือบรวมตัวกันอาจเกิดเป็นคู่อะตอม (รูปที่ 2.1 (c)) ซึ่งมีความเสถียรมากกว่าอะตอมเดียว ซึ่งการรวมตัวกันของอะตอมนั้นจะขึ้นอยู่กับความหนาแน่นของอะตอมเดียวและอัตราเคลือบ (Deposition Rate) อะตอมคู่อาจรวมตัวกับอะตอมเดียวอื่นแล้วกลายเป็นสามอะตอมหรือ สี่อะตอม ลักษณะเช่นนี้เรียกว่าสภาวะการเกิดนิวเคลียส (รูปที่ 2.1 (d)) ทำให้ได้กลุ่มอะตอมกึ่งเสถียร (Quasi-Stable Islands) จากนั้นกลุ่มอะตอมจะเริ่มโตขึ้นเรียกว่า การโตเป็นกลุ่มก้อน (Island Growth) ขนาดของกลุ่มอะตอมจะใหญ่ขึ้นโดยมีจำนวนอะตอมเพิ่มเดิม หรือเพิ่มขึ้นเล็กน้อย (รูปที่ 2.1 (e)) และ (รูปที่ 2.1 (f)) การโตของกลุ่มอะตอมนี้จะเกิดขึ้นเรื่อยๆ จนกระทั่งแต่ละกลุ่มชนกัน เรียกว่า การรวมกันเป็นก้อนของกลุ่มอะตอม (รูปที่ 2.1 (g)) พนว่าขณะที่กลุ่มอะตอมรวมกันเป็นก้อนอะตอมจะมีพฤติกรรมคล้ายของเหลว การรวมกันเข้าเป็นก้อนของกลุ่มอะตอมจะเกิดขึ้นจนกระทั่งฟิล์มเข้มตอกันอย่างต่อเนื่อง (รูปที่ 2.1 (h)) แต่ในบางกรณีการเข้มตอกันอย่างต่อเนื่องจะเกิดขึ้นได้อย่างสมบูรณ์เมื่อฟิล์มนี้ความหนาโดยเฉลี่ยประมาณ $0.04\text{--}0.05 \mu\text{m}$ ลักษณะพิเศษของฟิล์มนาง ขณะเกิดการรวมกลุ่มอะตอมจะดูคล้ายเนินเขาและหุบเขา



รูปที่ 2.1 แสดงการก่อเกิดฟิล์มบาง [11]

เมื่อพิจารณาการเกิดฟิล์มในสภาพะที่เป็นกลุ่มอะตอม (Island) พบว่าอาจเป็นกลุ่มของผลึกเดี่ยวหรือกลุ่มของผลักคู่หรือมากกว่านั้นซึ่งกลุ่มอะตอมเหล่านี้จะตกลาดีอยู่บนวัสดุรองรับที่เป็นวัสดุหลายผลึก ทิศทางการจัดเรียงตัว (Orientation) ของแต่ละกลุ่มอะตอมนั้นจะเป็นแบบสุ่ม (Random) ทำให้ได้ฟิล์มบางที่มีโครงสร้างเป็นหลายผลึกคั่ว阎แต่ถ้ากลุ่มอะตอมเหล่านั้นตกเคลือบบนวัสดุรองรับที่เป็นผลึกเดี่ยว การจัดเรียงตัวของฟิล์มนี้จะมีลักษณะเป็นผลึกเดี่ยว และเรียกการเกิดฟิล์มแบบผลึกเดี่ยวประเภทนี้ว่า เอพิแทกซ์ (Epitaxy) ถ้าอะตอมที่ผิวของวัสดุรองรับมีพลังงานเพียงพออะตอมเหล่านี้จะเคลื่อนที่เพื่อเลือกเข้าไปอยู่ในตำแหน่งที่มีพลังงานต่ำกว่าเสมอ และความสามารถในการเคลื่อนที่ (Mobility) ของอะตอมจะเพิ่มขึ้น ถ้าอุณหภูมิที่ผิววัสดุรองรับสูงขึ้น นอกจากนี้การลดอัตราการเคลื่อนยังสามารถช่วยให้การโடของผลึกเกิดได้ดียิ่งขึ้น เพราะอะตอมมีเวลาในการโடมากพอ ดังนั้นถ้าอุณหภูมิของวัสดุรองรับสูงและมีอัตราการเคลื่อนตัวจะได้ฟิล์มที่มีขนาดของกรนใหญ่ขึ้น มีข้อบกพร่องในกรณาน้อยลงและได้ฟิล์มที่มีความหนามากพอสำหรับการเชื่อมต่อกันอย่างสมบูรณ์ [11]

2.4 โครงสร้างของฟิล์มน้ำง

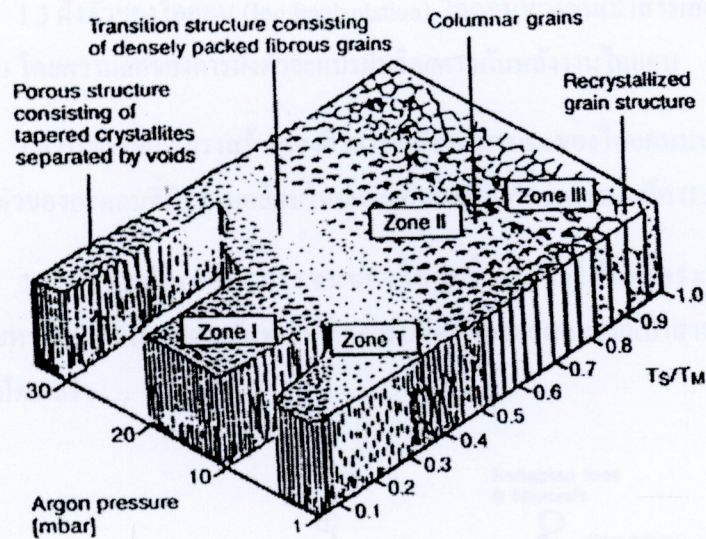
โครงสร้างของฟิล์มน้ำงจะเป็นไปตามเงื่อนไขของอัตราส่วนระหว่างอุณหภูมิเคลือบกับอุณหภูมิหลอมเหลว (T/T_m) ซึ่งแบ่งออกเป็น 4 ส่วน ตามลักษณะ โครงสร้างและคุณสมบัติทางกายภาพ ดังรูปที่ 2.2

1. บริเวณ 1 (Zone I) เป็นการเคลือบที่เกิดในช่วงอุณหภูมิต่ำ และความดันก๊าซขณะเคลือบนีค่าสูง อะตอนที่อยู่บนผิวแผ่นรองรับจะมีค่าสัมประสิทธิ์การแพร่ต่ำทำให้เกิดการเกาะกันเป็นกลุ่มเล็กๆ การกระจัดกระจาย และเกิดเป็นโครงสร้างผลึกที่มีลักษณะเรียวยແлемแบบ Tapers Crystallites จากนิวเคลียสที่มีปริมาณจำกัด ทำให้เกิดความหนาแน่นของโครงสร้างต่ำ เนื่องจากที่ความดันสูง ความหนาแน่นของก๊าซในถังเคลือบมีมากขึ้นอนุภาคจะเคลื่อนที่ตกลงมาได้ยากขึ้นทำให้อนุภาคของผิวเคลือบตกลงมาได้น้อยและขณะที่ตกลงลงตัวกับอนุภาคอื่นทำให้อนุภาคที่ตกลงมาเมีนหาดใหญ่ และมีเวลานานขึ้นในการเคลือนที่เพื่อฟอร์มตัวเป็นนิวนิวเคลียส จึงทำให้ช่องว่างระหว่างเกรนมีขนาดใหญ่เกิดขึ้นผิวเคลือบที่บรุษระมักจะเกิดจากความไม่สม่ำเสมอของการ โดยอุณหภูมิที่มีผลต่อการโดยอุณหภูมิที่มักจะมาจากไออกอนที่ระดุมยิงเป็นส่วนใหญ่

2. บริเวณ T (Zone T) เป็นบริเวณด้านบนสำหรับการเคลือบฟิล์มด้วยระบบสปีดเตอริง เกิดในช่วงระหว่างบริเวณ 1 และบริเวณ 2 อะตอนที่อยู่บริเวณผิวรองรับจะมีปริมาณมากขึ้น อุณหภูมิของแผ่นรองรับจะเพิ่มขึ้น ค่า Surface Mobility ก็จะเพิ่มขึ้น และโครงสร้างในบริเวณ 1 ก็จะเข้าสู่บริเวณ T ซึ่งจะเริ่มมีเกรนขา (Fibrous Grain) เติ่มพื้นที่ และขอบเกรนมีความหนาแน่นสูงขึ้นจึงมีการแพร่ของอะตอนผ่านขอบเกรนที่ไม่แข็งแรงนี้เข้าเป็นเนื้อดียะกันจนกลายเป็นคลัมนำต่อไปโดยปราศจากช่องว่างบริเวณที่ขอบ

3. บริเวณ 2 (Zone II) เกิดเป็นโครงสร้างคลัมนำที่เกิดจากการอยู่กันอย่างหนาแน่นของผลึกห้องหลายขนาดของเกรนและความหนาของฟิล์มจะเพิ่มขึ้น เนื่องจากอุณหภูมิในการเคลือบและอัตราการเคลือบเพิ่ม (มีผลต่อ Surface Mobility ของอะตอน) และขนาดของคลัมนำจะเพิ่มขึ้นเรื่อยๆ เมื่ออุณหภูมิเพิ่มขึ้นเนื่องจากการแพร่ที่บริเวณรอยต่อระหว่างขอบคลัมนำ

4. บริเวณ 3 (Zone III) การแพร่จะมีค่าสูง และส่งผลต่อโครงสร้างสุดท้าย โครงสร้างที่ได้จะเป็นเกรนที่มีด้านเท่ากันหมวดขนาดของคลัมนำจะมีขนาดใหญ่ และความหนาแน่นเพิ่มขึ้นอย่างไรก็ตามที่อุณหภูมิสูงอาจทำให้เกิดผลึกใหม่ (Recrystallization) เนื่องจากพลังงานสะสมของความเครียด ที่เกิดขึ้นตั้งแต่ตอนเคลือบ เกรนที่เกิดขึ้นในขั้นตอนนี้จะเปลี่ยนจากคลัมนำเป็นผลึกเดียว [14]



รูปที่ 2.2 แสดงprocessing structure การเกิดฟิล์มในรูปแบบต่างๆ [14]

2.5 กระบวนการสปัตเตอริ่ง

เมื่อผิวน้ำของวัสดุถูกกระดุมขึ้นด้วยอนุภาคพลังงานสูงจะทำให้เกิดการสึกกร่อนและมีอนุภาคที่ผิวน้ำของวัสดุนั้นหลุดมา เนื่องจากการชนของอนุภาคพลังงานสูงกับอนุภาคที่ผิวน้ำปรากฏการณ์ที่อนุภาคผิวน้ำหลุดออกมานี้เรียกว่า สปัตเตอริ่ง (Sputtering) ปัจจุบันมีการนำมาประยุกต์ใช้อย่างกว้างขวาง เช่น การทำความสะอาดผิวน้ำ (Surface Cleaning) การกัดเซาะ (Etching) สำหรับแนวคิดเบื้องต้นเกี่ยวกับกระบวนการสปัตเตอริ่งอธิบายดังนี้

1. อันตรรศิยาระหว่าง ไออ่อนและผิวเป้าสารเคลือบ เมื่อวิ่งชนผิวน้ำวัสดุจะเกิดปรากฏการณ์ดังรูปที่ 2.3

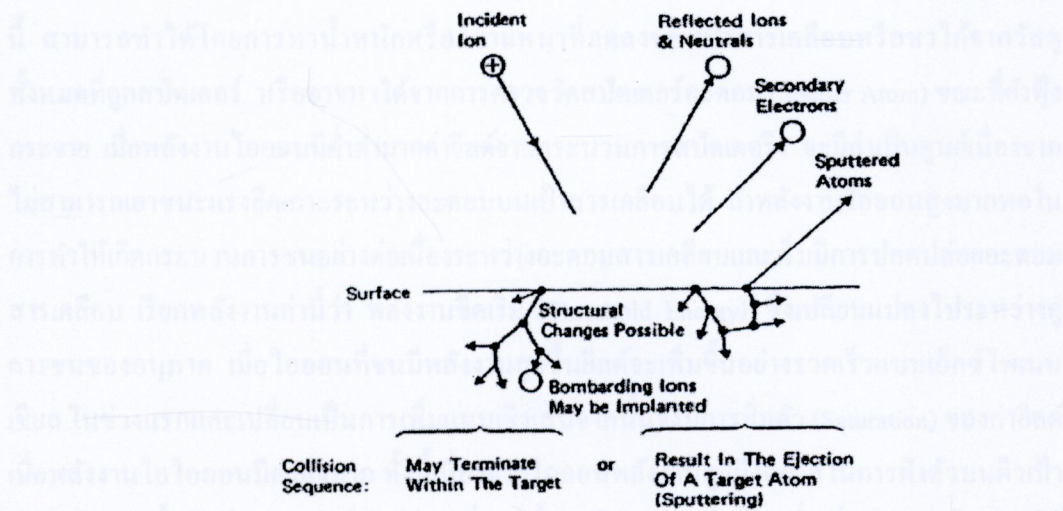
1.1 การสะท้อนที่ผิวน้ำของ ไออ่อน (Reflected Ion and Neutral) ไออ่อนอาจสะท้อนกลับจากผิวน้ำซึ่งส่วนใหญ่จะสะท้อนออกมานในรูปของอะตอมที่เป็นกลางทางไฟฟ้าอันเกิดจากการรวมตัวกับอิเล็กตรอนที่ผิวเป้าสารเคลือบ

1.2 การปลดปล่อยอิเล็กตรอนชุดที่สอง (Secondary Electron Emission) จากการชนของ ไออ่อนอาจทำให้เกิดการปลดปล่อยอิเล็กตรอนชุดที่สองจากเป้าสารเคลือบถ้า ไออ่อนนั้นมีพลังงานสูงพอ

1.3 ฝังตัวของไอออน (Ion Implantation) ไอออนที่ว่างชันเป้าสารเคลือบนั้นอาจฝังตัวลงในสารเคลือบ โดยความลึกของการฝังตัวจะแปรผันโดยตรงกับพลังงานไอออน

1.4 การเปลี่ยนโครงสร้างของผิวสารเคลือบ การชนของไอออนบนผิวสารเคลือบทำให้เกิดการเรียงตัวของอะตอมที่ผิวสารเคลือบใหม่และเกิดความบกพร่องของผลึก (Lattice-Defect)

1.5 การสปีดเตอร์ การชนของไอออนอาจทำให้เกิดกระบวนการการชนกันแบบต่อเนื่องระหว่างอะตอมของเป้าอันทำให้เกิดการปลดปล่อยอะตอมจากเป้าสารเคลือบซึ่งเรียกว่ากระบวนการการสปีดเตอร์ริ่ง



รูปที่ 2.3 แสดงอันตรกิริยะระหว่างไอออนกับพื้นผิวสุด [11]

2. กระบวนการสปีดเตอร์ริ่งเป็นกระบวนการที่อะตอมผิวน้ำของวัสดุถูกทำให้หลุดออกมารักษาการชนของอนุภาคพลังงานสูง โดยมีการแลกเปลี่ยนพลังงานและโน้มน้ามระหว่างอนุภาคที่ว่างเข้าชนกับอะตอมที่ผิวสุดดังกล่าว กระบวนการนี้อนุภาคที่ว่างเข้าชนอาจเป็นกลางทางไฟฟ้าหรือมีประจุเกิดดังนั้นสิ่งที่จำเป็นในกระบวนการสปีดเตอร์ริ่ง คือ

2.1 เป้าสารเคลือบ ทำหน้าที่เป็นเป้าให้ออนุภาคพลังงานสูงวิ่งเข้าชนจนมีการปลดปล่อยอะตอมของสารเคลือบลงเคลือบบนวัสดุรองรับ

2.2 ออนุภาคพลังงานสูง ซึ่งว่างชนเป้าสารเคลือบ แล้วทำให้อะตอมของเป้าสารเคลือบหลุดออกมารักษาการชนของอนุภาคประจุภายในไฟฟ้า ซึ่งสามารถควบคุมระดับ

พลังงานไออกอนตามต้องการ อิเล็กตรอนเป็นอนุภาคที่มีประจุชนิดหนึ่งที่ผลิตได้ง่ายและสามารถเร่งให้มีพลังงานสูงภายในได้ด้วยไฟฟ้า

2.3 การผลิตอนุภาคพลังงานสูง อนุภาคพลังงานสูงในระบบสปัตเตอริงนี้จะต้องถูกผลิตขึ้นอย่างต่อเนื่อง เพื่อให้กระบวนการเคลือบสารเกิดขึ้นได้อย่างต่อเนื่องจนได้ความหนาฟิล์มนางตามต้องการ ทั้งนี้สามารถทำได้หลายวิธี เช่นการใช้ลำอนุภาคจากปืนไออกอนที่มีปริมาณการผลิตไออกอนในอัตราสูง

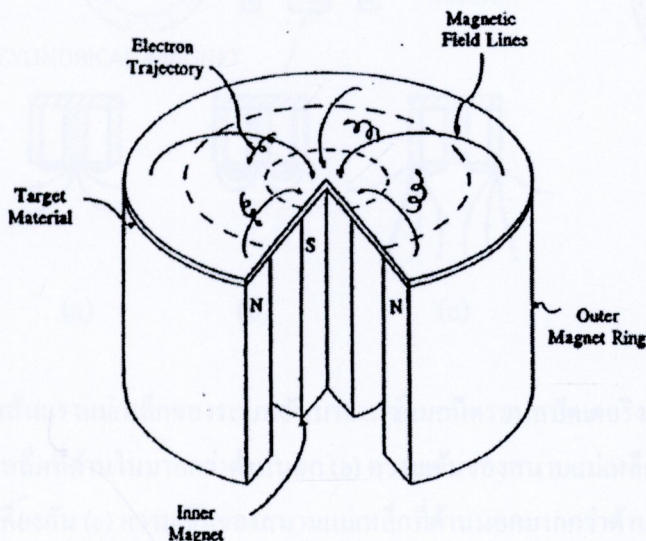
3. ค่าเยล็ดของสปัตเตอริง (Sputtering Yield: S) คือ ค่าเฉลี่ยปริมาณการหลุดของอะตอมเป้าสารเคลือบต่อปริมาณการชนของไออกอน 1 อนุภาคมีหน่วยเป็น อะตอมต่อไออกอน โดยการวัดค่าเยล็ดนี้ สามารถทำได้โดยการหาน้ำหนักหรือความหนาที่ลดลงของเป้าสารเคลือบหรือหาได้จากการวัดทั้งหมดที่ถูกสปัตเตอร์ หรืออาจหาได้จากการตรวจวัดสปัตเตอร์อะตอม (Sputter Atom) ขณะที่บังผุ้งกระจาบ เมื่อพลังงานไออกอนมีค่าต่ำมากค่าเยล็ดจากกระบวนการสปัตเตอริง จะมีค่าเป็นศูนย์เนื่องจากไม่สามารถเอาชนะแรงดึงด้วยแรงหัวใจของอะตอมบนเป้าสารเคลือบได้ ถ้าพลังงานไออกอนสูงมากพอในการทำให้เกิดกระบวนการชนอย่างต่อเนื่องระหว่างอะตอมสารเคลือบและเริ่มนีการปลดปล่อยอะตอมสารเคลือบ เรียกพลังงานค่านี้ว่า พลังงานปีกเริ่ม (Threshold Energy) ซึ่งเปลี่ยนแปลงไประหว่างคู่การชนของอนุภาค เมื่อไออกอนที่ชนมีพลังงานสูงขึ้นเยล็ดจะเพิ่มขึ้นอย่างรวดเร็วแบบเอ็กซ์โพเนนเชียล ในช่วงแรกและเปลี่ยนเป็นการเพิ่มแบบเชิงเส้นจากนั้นจึงมีการอิ่มตัว (Saturation) ของค่าเยล็ด เมื่อพลังงานไออกอนมีค่าสูงมาก ทั้งนี้เนื่องจากไออกอนพลังงานสูงมีโอกาสในการฟังด้วยนิวเคลียสสารเคลือบสูงขึ้นเยล็ดของสารเคลือบมีค่าคงที่ จากนั้นจะมีค่าลดลงเล็กน้อยเมื่อเพิ่มพลังงานไออกอนให้สูงมากขึ้น [12]

2.6 ระบบเคลือบผิวแบบดีซีแมกนีตอเรนสปัตเตอริง

(DC magnetron sputtering)

อัตราการเกิดสปัตเตอริงนั้นจะขึ้นอยู่กับผลคูณระหว่างเยล็ดและปริมาณไออกอนที่วิ่งชนเป้าสารเคลือบ ดังนั้นการเพิ่มอัตราการสปัตเตอร์นอกจากจะทำได้โดยการเพิ่มเยล็ดแล้วยังทำได้โดยการเพิ่มปริมาณไออกอนที่วิ่งเข้าชนเป้าสารเคลือบ ซึ่งในระบบดีซีสปัตเตอริง ปกตินั้นทำได้เพียงการเพิ่มแรงดันไฟฟ้าระหว่างอิเล็กโทรด หรือเพิ่มความดันประมาณ 1.33×10^{-5} mbar นอกจากนี้ยังมีพบว่าในระบบดีซีสปัตเตอริง ยังมีข้อเสียเมื่อความดันสูงขึ้นจะทำให้ปริมาณก๊าซที่แทรกตัวในฟิล์มนางที่ได้มีค่าสูงด้วยต่อมามีการพัฒนาระบบทใหม่เรียกว่า ระบบดีซี แมกนีตอเรน สปัตเตอริง ซึ่งเป็นการใช้สนามแม่เหล็กช่วย โดยจ่ายสนามแม่เหล็กให้มีพิเศษนากับผิวน้ำเป้าสารเคลือบและมีพิเศษนากับสนามไฟฟ้าซึ่งจะช่วยเพิ่มระยะทางเดินของอิเล็กตรอนให้ยาวขึ้น โดยจำนวนของสนามแม่เหล็กจะทำให้อิเล็กตรอน

เคลื่อนที่เป็นทางโค้ง ดังรูปที่ 2.4 ทำให้การไอօนในซึ่งเนื่องจากการชนระหว่างอิเล็กตรอนกับอะตอม ก้าชเฉื่อยมีค่าสูงขึ้นซึ่งจะทำให้อัตราการสปัตเตอร์สูงขึ้นด้วย

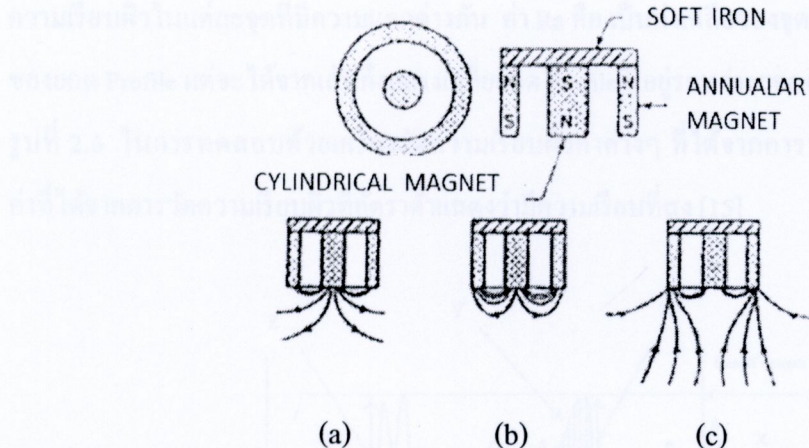


รูปที่ 2.4 แสดงการเคลื่อนที่ของอิเล็กตรอนในสนามแม่เหล็ก [12]

2.7 ระบบเคลื่อนผิวแบบอันบาลานซ์แมgnีตرونสปัตเตอริง

(Unbalance magnetron sputtering)

การติดตั้งแม่เหล็กที่ค่าโถดของระบบสนับเตอริงปกติ หากทำให้ความเร็วขึ้นของสนามแม่เหล็กด้านใด ด้านหนึ่งมากหรือน้อยกว่าอีกด้านหนึ่งแล้วสนามแม่เหล็กที่ค่าโถดมีลักษณะไม่สมมาตรทำให้ปริมาณ ไอօนที่วิ่งเข้าชนหรือระดมยิงวัสดุรองรับนั้นมีปริมาณมากกว่าปกติ ซึ่งจะมีผลต่อคุณภาพของฟิล์ม บางที่เคลื่อนได้โดยตรง การจัดแม่เหล็กของระบบนี้อาจแบ่งเป็น 3 แบบ ดังรูปที่ 2.5



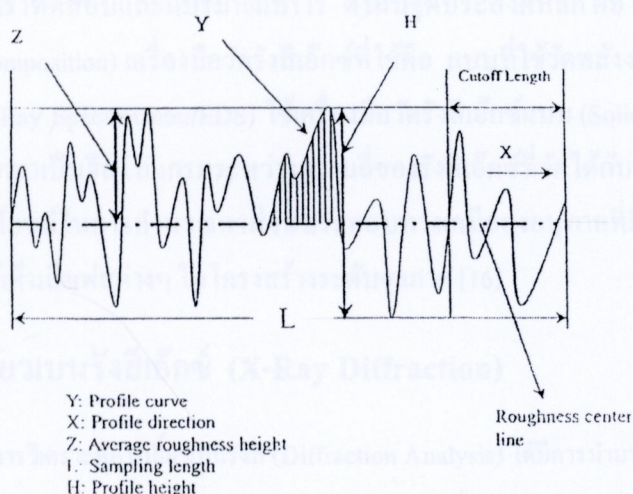
รูปที่ 2.5 แสดงลักษณะเส้นแรงแม่เหล็กของระบบอันบานานี้แมกนีตอรอนสปีดเตอริง (a) ความเข้มของสนามแม่เหล็กที่ด้านในมากกว่าด้านนอก (b) ความเข้มของสนามแม่เหล็กที่ด้านในและด้านนอกใกล้เคียงกัน (c) ความเข้มของสนามแม่เหล็กที่ด้านนอกมากกว่าด้านใน [13]

2.8 ความเรียบผิว

รูปแบบโดยทั่วไปของผิว มีคำศัพท์ทางเทคนิคหลายคำเกี่ยวกับพื้นผิวที่ควรรู้จัก (Surface) หมายถึง ส่วนนอกสุดของวัตถุ (Body) ที่จะสัมผัสกับอากาศ (Space) หรือสัมผัสเกี่ยวกับข้องับวัตถุอื่น พื้นผิวของ วัตถุส่วนมากจะมีลักษณะเป็นเหมือนเกลียวคลื่น (Wavelength) ยาวสมกับระยะลอกคลื่นที่มีความยาว คลื่นสั้น ความยาวคลื่น (Waviness) หมายถึง เกลียวคลื่นที่มีช่วงคลื่นยาว ความเป็นคลื่นสั้นมากจะมี ลักษณะเป็นคลื่นไซน์ (Sine wave) ซึ่งอาจจะแสดงได้โดยขนาด (Amplitude) ของคลื่นและโดยค่า ความยาวคลื่น ความเรียบผิว (Roughness) หมายถึง ระยะลอกคลื่นที่มีช่วงคลื่นสั้น ความชุรุยะอาจจะ แสดงได้โดยขนาด (Amplitude) ของคลื่นและโดยค่าความยาวคลื่น เส้นขอบ (Profile) เป็นเส้นแสดง พื้นที่ผิวเมื่อถูกตัดตามแนวขวาง รอยลอกคลื่น (Flaw) หมายถึงร่องรอยที่เกิดขึ้นอย่างไม่มีทิศทางแน่นอน มีจำนวนน้อยและจะไม่นำมาพิจารณาในการคำนวณหรือในการวัดค่าความเรียบ การวัดความเรียบผิว (Surface Roughness) เป็นการวัดโดยใช้เครื่อง Profile Meter เพื่อช่วยในการบันทึกผิวชั้นให้ความ ละเอียดสูงมาก ในการวัดจะใช้ปลายของเข็มวัดคลากไปบนชิ้นงานในแนวเส้นตรง จากนั้นเครื่องจะ บันทึกผลลอกคลื่นเป็นกราฟแสดงความเรียบเป็นไนครอน โดยค่าของความเรียบผิว ของผิวชิ้นงาน หรือวัสดุที่ทำการทดสอบด้วยเครื่อง Profile Meter เครื่องจะทำการคำนวณค่าตัวแปรต่างๆ เช่นค่า Ra ซึ่งเป็นค่าที่หัวเข็มได้ลากผ่านผิวชิ้นงาน โดยในแต่ละค่าที่เครื่องทำการคำนวณจะเป็นการวิเคราะห์ค่า

สำนักงานคณะกรรมการวิจัยแห่งชาติ
วันที่..... กันยายน พ.ศ. ๒๕๖๓
เลขทะเบียน..... 247104
เลขเรียกหนังสือ.....

ความเรียบผิวในแต่ละจุดที่มีความแตกต่างกัน ค่า Ra คือ เป็นค่าเฉลี่ยของจุดที่เข้มลักษณะร่องรอยของขดของ Profile แต่จะได้จากเส้นกึ่งกลางเฉลี่ยของ Profile ที่อยู่ระหว่างยอดสูงสุดและจุดกึ่งกลาง ดังรูปที่ 2.6 ในการทดสอบด้วยเครื่องวัดความเรียบผิวค่าต่างๆ ที่ได้จากการวัดหรือจากการทดสอบค่าที่ได้จากการวัดความเรียบผิวที่อัตราตัวแปรคงที่แสดงว่ามีความเรียบที่สูง [15]



รูปที่ 2.6 แสดงเส้นของพื้นผิวและความเรียบ [15]

2.9 การวัดความหนาของผิวเคลือบ โครงสร้างจุลภาค และส่วนผสมทางเคมี

กล้องจุลทรรศน์อิเล็กตรอน (Scanning Electron Microscope : SEM) เป็นเครื่องมือที่ใช้ดูโครงสร้างจุลภาคของวัสดุที่เป็นของแข็ง เนื่องจากสามารถให้ภาพความละเอียดสูง มีกำลังขยายถึง 50,000 เท่า จึงให้ค่าการวัดที่ค่อนข้างละเอียดและแน่นอนโดยการประมวลผลด้วยโปรแกรมทางคณิตศาสตร์บนเครื่องคอมพิวเตอร์ ซึ่งให้ความละเอียดและความแม่นยำของผลการวิเคราะห์สูง ระบบภาพของ SEM เกิดจากกระบวนการควบคุมการสแกนลำอิเล็กตรอนที่มีขนาดเล็กมาก ให้เคลื่อนที่บนระนาบ X-Y ของพื้นผิวชิ้นงานตัวอย่างจะทำให้เกิดอันตรกิริยา (Interaction) ระหว่างอิเล็กตรอนจากลำอิเล็กตรอนกับอะตอมของธาตุชิ้นงานตัวอย่าง ซึ่งสัญญาณอิเล็กตรอนเหล่านี้จะถูกตรวจจับ (Detect) และเปลี่ยนให้เป็นสัญญาณภาพด้วยอุปกรณ์อิเล็กทรอนิกส์ แล้วส่งผ่านสัญญาณให้กับระบบแสดงภาพบนจอแอลซีดี สัญญาณอิเล็กตรอนเกิดขึ้นเมื่อลำอิเล็กตรอนพลังงานสูงที่ถูกขึ้นจากแหล่งกำเนิดลำอิเล็กตรอนความดันไฟฟ้าสูง (High Voltage) และเมื่อลำอิเล็กตรอนปะปนกันนี้ตกกระแทบผิวของชิ้นงานตัวอย่าง ลำอิเล็กตรอนปะปนกัน (Primary Electron) จะทำอันตรกิริยา (Interaction) กับอะตอมธาตุของชิ้นงานตัวอย่าง ผลจากการถ่ายโอนพลังงานที่ขึ้นความลึกจากพื้นผิว

ที่ระดับต่างๆ กันทำให้เกิดการปิดปล่อยอนุภาค รวมทั้งคลื่นแม่เหล็กไฟฟ้าตามคุณสมบัติทางกายภาพเฉพาะของชิ้นงานตัวอย่างนั้นๆ ชิ้นอนุภาคและคลื่นสัญญาณแม่เหล็กไฟฟ้าที่ปิดปล่อยอกน้ำนี้เรียกว่า “สัญญาณอิเล็กตรอน” ในปัจจุบันนี้ SEM ส่วนใหญ่จะติดตั้งเครื่องมือวัดรังสีเอ็กซ์ เครื่องมือนี้ใช้วัดความยาวคลื่นและความเข้มของรังสีเอ็กซ์ลักษณะเฉพาะ (Characteristic X-Ray) ที่ชิ้นงานปล่อยออกมายังจากที่ลำอิเล็กตรอนตกกระทบด้วยวิธีนี้เราสามารถทราบว่ามีธาตุอะไรบ้างอยู่ในพื้นที่ที่เราทดสอบและมีปริมาณเท่าไร ดังนั้นจุดประสงค์หลัก คือ หาส่วนประกอบทางเคมี (Chemical Composition) เครื่องมือวัดรังสีเอ็กซ์ที่ใช้คือ แบบที่ใช้วัดพลังงานของรังสีเอ็กซ์ (Energy-Dispersive X-Ray Spectrometer/EDS) ใช้เครื่องมือวัดรังสีเอ็กซ์แบบ (Solid State Detector) ข้อมูลที่ได้จะแสดงออกมาเป็นชิสโทแกรมระหว่างความถี่ของรังสีเอ็กซ์ที่วัดได้กับพลังงานของรังสีเอ็กซ์ โดยสรุป มีประโยชน์ในการคำนวณหาส่วนประกอบทางเคมีของอนุภาคที่มีขนาดเล็กระดับไมโครน และแสดงให้เห็นถึงเฟสต่างๆ ในโครงสร้างระดับจุลภาค [16]

2.10 เทคนิคการเดี่ยวเบนรังสีเอ็กซ์ (X-Ray Diffraction)

ในเกือบทุกร่มีที่เทคนิคการวิเคราะห์การเดี่ยวเบนรังสี (Diffraction Analysis) ให้มีการนำมาใช้เพื่อการแยกแยะโครงสร้างของผิวเคลือบ การวิเคราะห์อาศัยการเบริชท์บอรูปแบบการเดี่ยวเบนของตัวห้องกับของมาตรฐาน เทคนิคการเดี่ยวเบนรังสีเอ็กซ์จะอาศัยลำรังสีเอ็กซ์ (X-Ray Beam) ที่มีค่าความยาวคลื่นเป็น λ จากแหล่งกำเนิดพุ่งชนกับผิวเคลือบเกิดการเดี่ยวเบนขึ้น ความเข้มของลำรังสีที่เดี่ยวเบนออกมานั้นจะถูกเก็บบันทึกในรูปของฟังชั่นของมุนการเดี่ยวเบน (Diffracted Angel, Θ) โดยความเข้มของสัญญาณ (Intensity) จะมีค่าไม่เป็นศูนย์ถ้ามุนของการเดี่ยวเบนเป็นไปตาม Bragg's Law

$$\lambda = 2d\hbar k l \sin \Theta$$

เมื่อ λ คือ ความยาวคลื่น

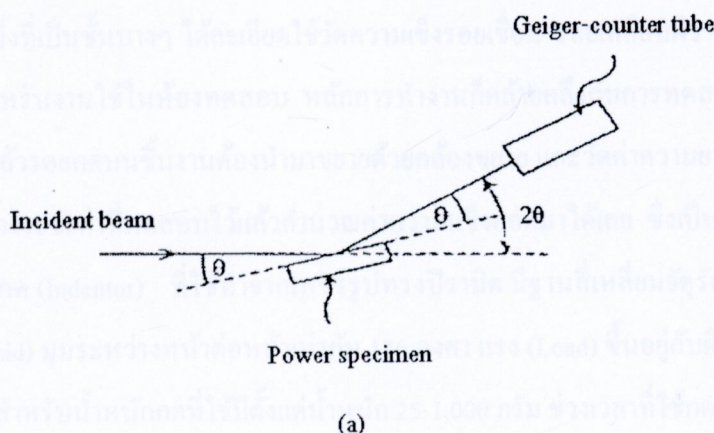
$2d\hbar k l$ คือ ระยะห่างระหว่างระนาบของแลหทิช

Θ คือ มุมสะท้อนจากนานาแนวรากของรังสีเอ็กซ์

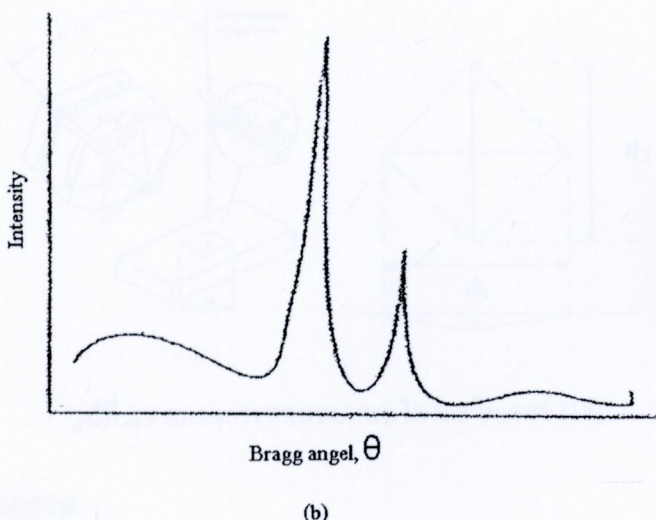
$$a = d\hbar k l \sqrt{h^2 + k^2 + l^2}$$

เมื่อ a คือ ค่าคงที่แลหทิช

ธาตุหรือสารประกอบทั่วไปจะประกอบไปด้วยอะตอมที่จัดเรียงตัวในลattice (Lattice) โดยมีรูปทรง และระยะห่างเหมือนๆกัน และมีหน่วยเซลล์ (Unit Cell) เป็นหน่วยที่เล็กที่สุดที่ประกอบ成โครงสร้าง ผลึกของธาตุหรือสารประกอบนั้นๆ เมื่อคำรังสีเอ็กซ์มีความถี่ค่าหนึ่งชนกับอะตอม อัตราการิยาที่กระทำกับอิเล็กตรอนในอะตอมทำให้อิเล็กตรอนสั่นด้วยความถี่เท่ากับของรังสีเอ็กซ์ และปล่อยรังสีเอ็กซ์ออกมายังทุกทิศทาง โดยไม่มีการเปลี่ยนแปลงความถี่ ถ้าการเดี่ยวบนเกิดกับอะตอมในผลึกที่เรียงห่างกันเป็นระบบเท่าๆ กัน รังสีที่ปลดปล่อยออกมายังเกิดการแทรกสอดกันซึ่งมีทั้งการแทรกสอดแบบเสริมและแบบหักล้า สัญญาณจะเกิดการแทรกสอดแบบเสริมได้เมื่อต่อกันระหว่างบุ้นสะท้อน การสะท้อนของรังสีเอ็กซ์จะเกิดจากอะตอมในระนาบต่างๆ ที่บุนกันและห่างเท่าๆ กัน X-Ray Diffractometer เป็นอุปกรณ์สำหรับวัดค่าความเข้มของรังสีเอ็กซ์ที่สะท้อนจากผลึกโดยมีอุปกรณ์ทางอิเล็กทรอนิกส์ประกอบอยู่ชั้น Geiger Counter tube หรือ Ionization Chamber ดังรูปที่ 2.7 แสดงให้เห็นว่าทั้งชิ้นงานและ Geiger Counter tube จะเคลื่อนที่โดย Geiger Counter tube เคลื่อนที่เร็วกว่าเป็น 2 เท่าเสมอ ทำให้อุปกรณ์ตรวจจับรังสีนี้อยู่ในบุ้นที่เหมาะสมสำหรับการสะท้อนรังสีตามกฎของ Bragg สัญญาณที่ตรวจจับได้จะแสดงออกมายังรูปแบบการเดี่ยวบนรังสี (Diffraction Pattern) ดังรูปที่ 2.8 ความเข้มของสัญญาณขึ้นอยู่กับหลายแฟกเตอร์ด้วยกัน เช่น โครงสร้างของวัสดุ ปริมาตรของวัสดุที่แผ่รังสี รูปทรงของการหักเห และการวางแผนงาน เป็นต้น [17]



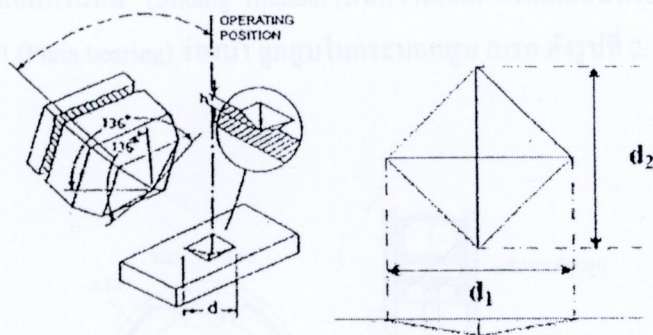
รูปที่ 2.7 แสดง X-Ray Diffractometer [17]



รูปที่ 2.8 แสดง Intensity Peak ที่แสดงถึงระนาบผลึกของวัสดุในตำแหน่งที่มีการสะท้อนรังสี [17]

2.11 ความแข็งแบบไมโครวิกเกอร์

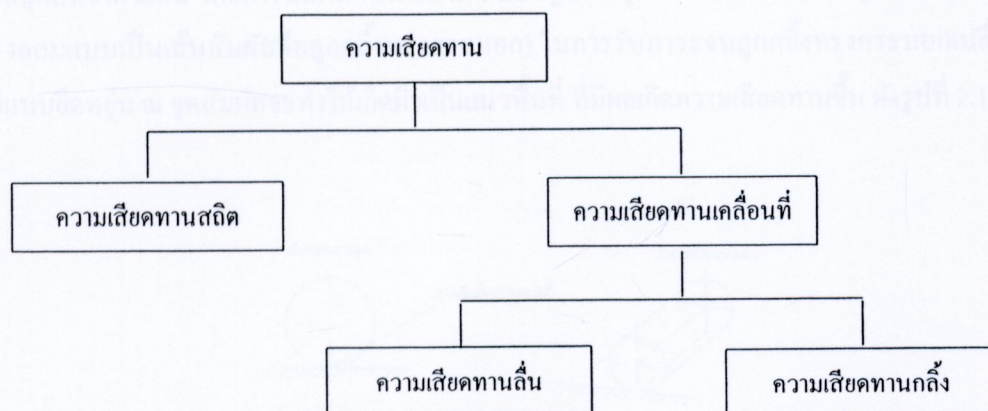
การทดสอบแบบไมโครวิกเกอร์สามารถทดสอบกับโลหะที่ชุบผิวแข็ง เช่น พากชูบไนโตรค์ สามารถวัดความลึกผิวแข็งที่เป็นชั้นบางๆ ได้ละเอียดใช้วัดความแข็งร้อยเชื่อม รอยคลื่อนผิว ตลอดจนแร่ธาตุต่างๆ เมฆะสำหรับงานใช้ในห้องทดสอบ หลักการทำงานคือถ่ายคลื่นกับการทดสอบแบบวิกเกอร์ คือเมื่อทดสอบแล้วรอบบนชิ้นงานต้องนำมากายด้วยกล้องขยาย และวัดค่าความยาวของเส้นที่แข็งทั้งสองด้าน เครื่องจะคำนวณค่าที่ทดสอบไว้แล้วคำนวณค่าความแข็งอุกมาได้เลย ซึ่งเป็นการสะดวกและรวดเร็วมาก หัวกด (Indentor) ที่ใช้ทำจากเพชรรูปทรงปรานิค มีฐานสี่เหลี่ยมจัตุรัส (Square Base Diamond Pyramid) มนุษหัวกว้างหน้าต่อหน้าเท่ากับ 136 องศา แรง (Load) ขึ้นอยู่กับผิวของโลหะที่จะทำการทดสอบ สำหรับน้ำหนักกดที่ใช้มีตั้งแต่น้ำหนัก 25-1,000 กรัม ช่วงเวลาที่ใช้กดสามารถเลือกได้ตั้งแต่ 5 ถึง 45 วินาที จะเห็นได้ว่าเครื่องทดสอบแบบไมโครวิกเกอร์ สามารถใช้งานได้อย่างสะดวกและแม่นยำ ดังรูปที่ 2.9 [18]



รูปที่ 2.9 แสดงการทดสอบแบบไนโครวิกเกอร์ [18]

2.12 ความเสียดทาน

แรงเสียดทาน คือ แรงที่ด้านท่านการเคลื่อนที่ ที่เกิดจากการเสียดสีระหว่างผิววัตถุที่มีการเคลื่อนที่มีพิษทางตรงข้ามกับการเคลื่อนที่ สามารถแบ่งประเภทเป็นความเสียดทานเคลื่อนที่และความเสียดทานสถิตดังแผนภูมิ ดังรูปที่ 2.10

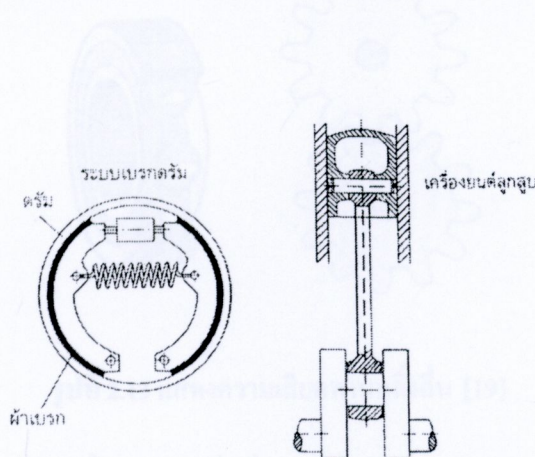


รูปที่ 2.10 แสดงแผนภูมิประเภทของความเสียดทาน [19]

1. ความเสียดทานเคลื่อนที่ (Dynamic friction) เป็นความเสียดทานจากการเคลื่อนที่ของวัตถุ แข็งบนพื้นผิววัตถุอื่น

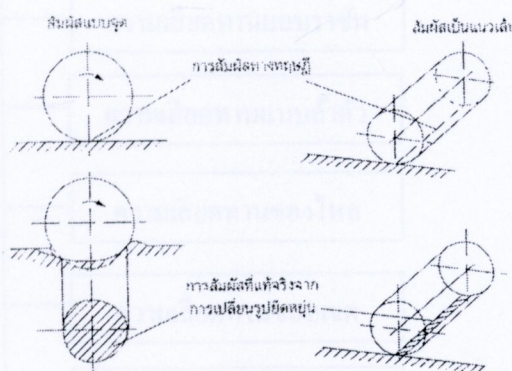
2. ความเสียดทานสถิต (Static friction) เป็นความเสียดทานที่เกิดจากการเลื่อนวัตถุจากสภาวะนิ่งให้เคลื่อนที่ด้านท่านผิวรองรับ

3. ความเสียดทานลื่น (Sliding friction) เป็นความเสียดทานเคลื่อนที่ระหว่างวัตถุที่ลื่น เช่น แบร์จแบบธรรมด้า (Plain bearing) ร่องนำ ลูกสูบในระบบออกแบบ เมรค ดังรูปที่ 2.11



รูปที่ 2.11 แสดงความเสียดทานลื่น [19]

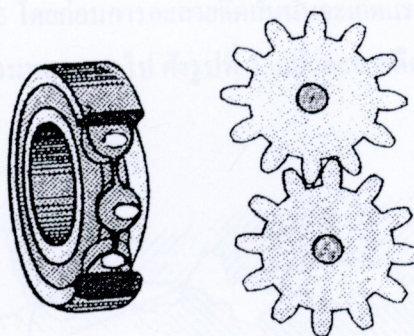
4. ความเสียดทานกลึงยืดหยุ่น (Elastic rolling friction) เป็นความเสียดทานเคลื่อนที่ชนิดหนึ่ง ที่วัตถุกลึงเข้าด้วยกัน โดยการสัมผัสนั้นเป็นลักษณะรูปร่างจุดหรือเป็นแนว (แบบจุดสัมผัส คือลูก ทรงกลมแบบเป็นเส้นสัมผัสคือลูกกลึงทรงกระบอก) ใน การรับภาระจะนลูกกลึงทรงกระบอกเปลี่ยน รูปแบบยืดหยุ่น ณ จุดสัมผัสจะทำให้เกิดผิวเป็นแนวพื้นที่ ที่มีผลเกิดความเสียดทานขึ้น ดังรูปที่ 2.12



รูปที่ 2.12 แสดงความเสียดทานกลึงยืดหยุ่น [19]

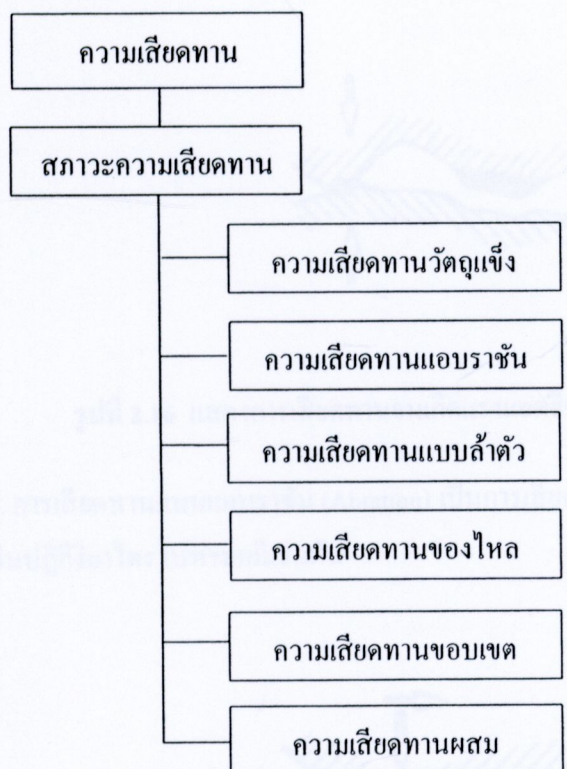
5. ความเสียดทานกลึงลื่น (Rolling friction with kinetic sliding) เป็นกรณีพิเศษของความเสียดทานกลึงยืดหยุ่น โดยเกิดความเสียดทานลื่นขึ้นด้วยในเวลาเดียวกัน เช่น แบร์จลูกกลึง การขับหมุนของเพื่องต่อเพื่อง ดังรูปที่ 2.13

ที่มีลักษณะ ซึ่งสามารถใช้ในรูปแบบที่หลากหลาย ไม่ว่าจะเป็น รูปแบบของลักษณะที่ต้องการได้ ดังรูปที่ 2.13 ที่แสดงความเสียดทานที่เกิดขึ้นกับล้อหมุนและล้อที่เคลื่อนที่ไป ทำให้เกิดแรงต้านต่อการเคลื่อนที่ จึงเป็นสิ่งที่ต้องคำนึงถึงในกระบวนการผลิต ไม่ใช่เรื่องที่ไม่สำคัญ



รูปที่ 2.13 แสดงความเสียดทานกลึงลื่น [19]

สภาวะแรงเสียดทานในปัจจุบันนี้มีวัสดุหลักลื่นที่สามารถสร้างสภาวะความเสียดทานต่างๆ ในบริเวณที่มีการเสียดทานได้ดังรูปที่ 2.14



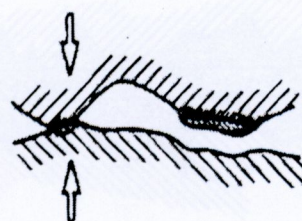
รูปที่ 2.14 แสดงสภาวะความเสียดทาน [19]

1. ความเสียดทานวัตถุแข็ง (Solid friction) หรือความเสียดทานแห้ง เป็นความเสียดทานระหว่างวัตถุแข็งทั้งสอง โดยที่ไม่มีวัสดุหลักลื่นระหว่างผิวทั้งสอง เช่น เบรก กลัตช์ วัตถุทั้งสองจะ

สัมผัสกัน ซึ่งหากเป็นโลหะชนิดเดียวกันแล้วก็สามารถทำให้ปลายพิวความหมายละลายติดกัน ลักษณะจะคล้ายๆ ได้ ดังรูปที่ 2.15 โดยก่อนการละลายติดกันนั้นจะเกิดแรงแอดไฮชันเกิดขึ้นก่อน และเมื่อเคลื่อนที่ต่อไปก็จะเกิดการเนื้อนหลุดออกไป ดังรูปที่ 2. แล้วละลายติดหักออกไป ซึ่งจัดเป็นปฏิกิริยาไตรโนทางเคมีประเภทหนึ่ง

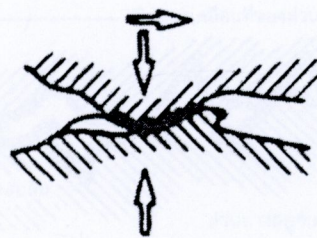


รูปที่ 2.15 แสดงความเสียดทานวัตถุแข็ง [19]



รูปที่ 2.16 แสดงการเสียดทานจนเกิดแรงแอดไฮชัน (Adhesion) [19]

2. การเสียดทานแบบแอบราชัน (Abrasion) เป็นการเสียดทานแห้ง จนเกิดการปาดผิว ดังรูปที่ 2.17 จัดเป็นปฏิกิริยาไตรโนทางเคมีเข่นกัน



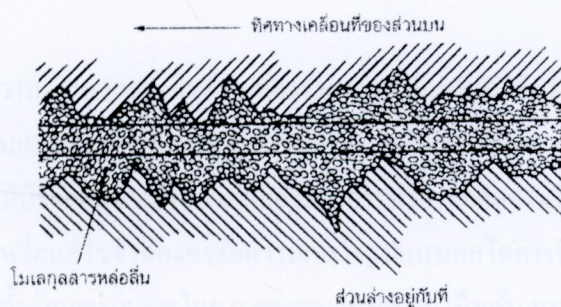
รูปที่ 2.17 แสดงการเสียดทานแอบราชันเกิดการปาดผิวจุลภาค [19]

3. การเสียดทานแบบล้าตัว (Fatigue) เป็นการเสียดทานแห้ง โดยอาศัยการสะสมของพลังงานจากการเสียดทานระหว่างชั้นผิวจุลภาคพร้อมกับอาศัยเวลาและความล้าจันแตกหักบนผิวจุลภาค ดังรูปที่ 2.18 จัดเป็นปฏิกิริยาไตรโนทางเคมีเข่นกัน



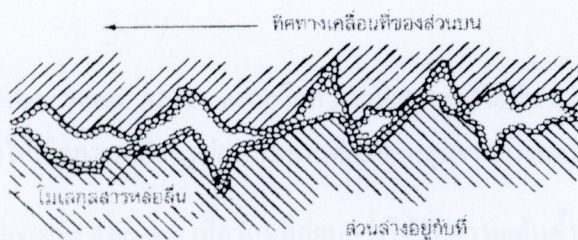
รูปที่ 2.18 แสดงการเสียดทานล้าตัว [19]

4. ความเสียดทานของไอล (Fluid friction) เป็นการเสียดทานที่ผิวทึ้งสองของวัตถุแข็งที่มีชั้นพิล์มสารหล่อลื่นเคลือบปอกปิดไว้อยู่มาก ซึ่งจะทำให้วัตถุทึ้งสองไม่มีโอกาสสัมผัสนาน ดังรูปที่ 2.19



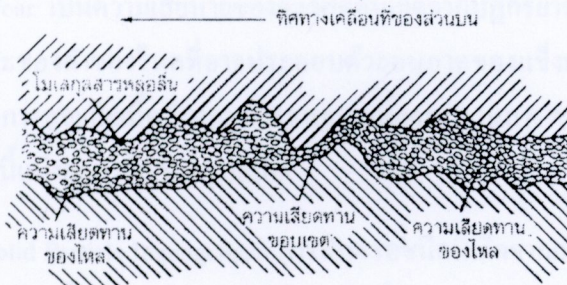
รูปที่ 2.19 แสดงความเสียดทานของไอล [19]

5. ความเสียดทานขอบเขต (Boundary friction) เป็นความเสียดทานที่ผิวทึ้งสองของวัตถุ มีสารหล่อลื่นเคลือบติดเพียงบางบาง ในขณะทำงานปลายพิเศษของหมายจะไม่คลาบริดกัน ดังรูปที่ 2.20



รูปที่ 2.20 แสดงความเสียดทานขอบเขต [19]

6. ความเสียดทานผสม (Mixed friction) เป็นสภาวะความเสียดทานที่มีความเสียดทานของเขตและความเสียดทานของไนล์เกิดขึ้นในเวลาเดียวกัน ซึ่งจะทำให้ดำเนินการผิวนางส่วนขาดฟิล์มหล่อเลี้ยง ดังรูปที่ 2.21



รูปที่ 2.21 แสดงความเสียดทานผสม [19]

2.13 การสึกหรอ

การสึกหรอหมายถึง ความเสียหายของผิวสัมผัสนีองจากการเคลื่อนที่สัมพัทธ์ระหว่างผิวสัมผัส ซึ่งจะส่งผลให้เกิดการเปลี่ยนแปลงรูปร่องรอยเสื่อมๆ บนผิวสัมผัสนี้ พฤติกรรมการสึกหรอนี้ ความชับช้อนเนื่องจากมีปัจจัยหลายอย่างเข้ามาเกี่ยวข้องการทำการทำหดลดลงหรือวิเคราะห์กลไกการสึกหรอเพื่อหารือป้องกันหรือแก้ไขซึ่งต้องอาศัยความเข้าใจรูปแบบกลไกการสึกหรอและอิทธิพลของพารามิเตอร์ที่เกี่ยวข้องทั้งลักษณะเฉพาะในการทดสอบแบบต่างๆ เป็นต้น การสึกหรอสามารถแบ่งได้หลายชนิด เช่น

1. Abrasion คือ กลุ่มการสึกหรอที่เกี่ยวข้องกับการตัดหรือเฉือนของผิวสัมผัสด้วยสัมผัสดูที่แข็ง หรือมีขอบคมมากทำให้วัสดุที่อ่อนกว่าสึกหรอ ชนิดของการสึกหรอในกลุ่มนี้ประกอบด้วย

1.1 Low Stress Abrasion อนุภาคที่แข็งและคมที่ผิว (Abradant) ไถหรือขุดผิวชั้นงานออกไปโดยน้ำหนักที่กระทำในแนวตั้งจากกับผิวสัมผัสมากนัก เช่น การขัดผิวชั้นงานด้วยกระดาษทราย

1.2 High Stress Abrasion กลไกความเสียหายคล้ายกับ Low Stress Abrasion แต่ความกันมีค่าสูงจนทำให้เกิดการเปลี่ยนรูปแบบพลาสติกและหดจากแรงกดที่ผิวสัมผัส

1.3 Gouging Abrasion เนื้อวัสดุที่อ่อนกว่าได้รับความกันช้ำๆ จากวัสดุผิวแข็งทำให้เปลี่ยนรูปแบบพลาสติกและเกิดการเสียเรื่องวัสดุชั้น เช่น การกระแทกช้ำๆ ของก้อนหินบนแผ่นโลหะ การกระแทกที่เหลือมล้ำบริเวณต่อ กันทำให้เกิดการแตกออกของขอบหลุมชั้น

1.4 Polishing Wear การสึกหรอที่เกิดขึ้นจากการถูซึ่งวัสดุที่สึกหรอไม่ปราฏรอยขีดข่วน แตกหักหรือการเปลี่ยนรูปแบบพลาสติก เช่น การสึกหรอของราวน์ไดจากการสัมผัสตัวบ่มือ ผู้คนกล ไกการสึกหรอแต่ละชนิด ได้ถูกแสดง ดังรูปที่ 2.22

2. Erosive Wear เป็นความเสียหายของผิววัสดุอันเกิดจากปฏิกิริยาระหว่างผิวของแข็งและของไอลหรือการปะทะของลำของไอลที่อาจประกอบด้วยอนุภาคของแข็งและของไอลอาจทำให้เกิดปฏิกิริยาเคมี ดังนั้นการสูญเสียนี้อ้วนดูอาจมีสาเหตุจากทั้งกระบวนการทางเคมีและทางกลพร้อมกัน การสึกหรอในกลุ่มนี้แบ่งออกได้เป็น 4 รูปแบบ

2.1 Solid Particle Impingement การสึกหรอชนิดนี้เกิดจากกระบวนการของอนุภาคขนาดเล็กอย่างต่อเนื่อง แต่ละครั้งของการชนทำให้เกิดการเปลี่ยนรูปแบบพลาสติกและลุณนาดเล็ก รวมทั้งเกิดการหลุดออกที่ละน้อยของผิวสัมผัส

2.2 Cavitation กรณีเกิดจากของแข็งสัมผัสของเหลวที่มีฟองอากาศประปนอยู่ เมื่อฟองอากาศแตกออกไกล์ผิวของแข็งทำให้ของเหลวบริเวณไกล์เดึงเข้ามาเติมช่องว่างนั้นอย่างเร็ว การเคลื่อนที่ของของเหลวอย่างเร็วนี้ก่อให้เกิดการเปลี่ยนแปลงความดันจนทำให้ผิวของแข็งเปลี่ยนรูป และหลุดออก

2.3 Slurry Erosion อนุภาคในของไอลเคลื่อนที่ปะทะกับวัสดุ เช่น การสึกหรอของท่อส่งน้ำที่มีเม็ดทรายประปนภายในน้ำ

2.4 Fluid Impingement Erosion การสึกหรอชนิดนี้เกิดจากของเหลวพุ่งกระทบของแข็ง หรือน้ำของเหลวกระทบผิวหน้าของแข็ง การสึกหรอลักษณะนี้แตกต่างกับการสึกหรอชนิด Slurry Erosion ที่ไม่มีอนุภาคของแข็งประปนในของเหลวกล ไกการสึกหรอแต่ละชนิด ได้ถูกแสดง ดังรูปที่ 2.23

3. Adhesive Wear เนื่องจากความจริงที่ว่าไม่มีผิววัสดุใดที่มีความเรียบสมบูรณ์แบบ เมื่อผิวสัมผัสถูกแรงกระทบทำให้มีบางส่วนของผิวเท่านั้นที่รับแรง ซึ่งหากได้รับแรงมากพอจะมีความคื้นสูงมากและจะเกิดการเชื่อมติดกันของผิวที่สัมผัส เมื่อมีการเคลื่อนที่สัมพันธ์กันของผิวสัมผัสบริเวณที่ถูกเชื่อมต่อข้างต้นจะไคลออก ทำให้เกิดการสูญเสียนี้ของวัสดุชิ้นใดชิ้นหนึ่งหรือทั้งสองชิ้น การสึกหรอในกลุ่มนี้แบ่งได้เป็น 5 รูปแบบ คือ

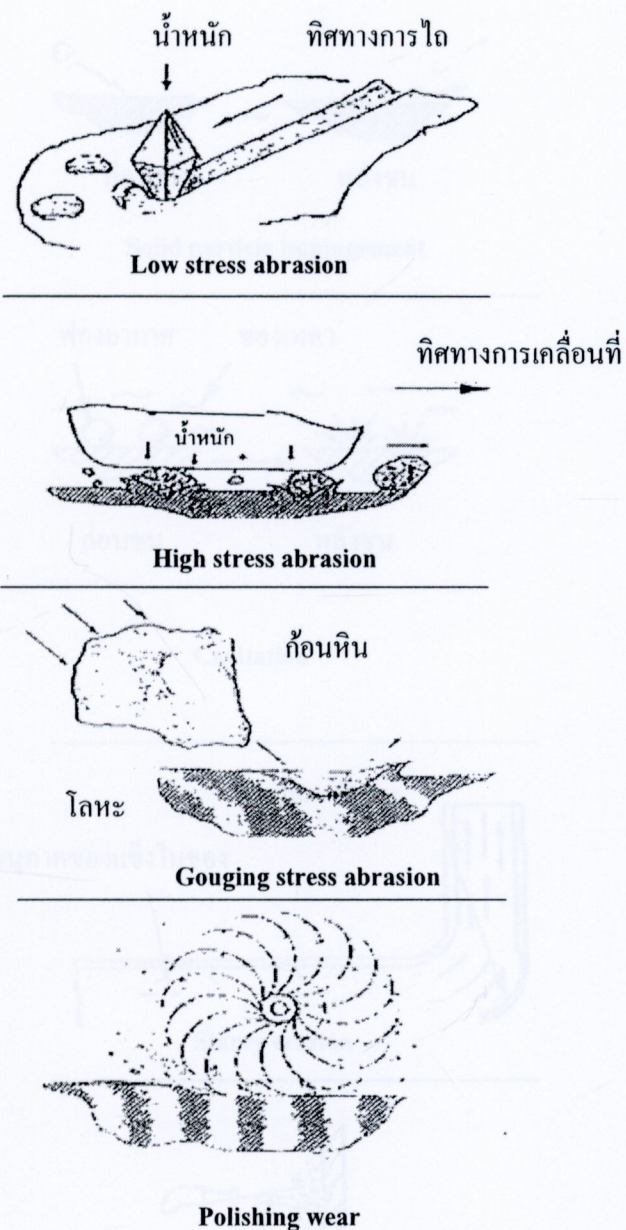
3.1 Fretting Wear ผิวสัมผัสบางส่วนที่รับความคื้นสูงพอจะเกิดการเชื่อมติดกัน แต่การสึกหรอชนิดนี้คุ้มผิวสัมผัสเคลื่อนที่สัมพันธ์กับไปกลับมา ทำให้บริเวณข้างรอยเชื่อมที่ติดกันแตกหักออกโดยเป็นเศษการสึกหรอ ดังนั้นการเชื่อมติดและการแตกหักจึงเกิดขึ้นสลับกัน

3.2 Adhesive Wear ลักษณะการสึกหรอนี้เกิดจากการเชื่อมติดระหว่างผิวสัมผัส 2 ผิว ส่งผลให้ เนื้อวัสดุหลุดออกไปติดกับวัสดุอีกชิ้นหรือหลุดออกไปทิ้งสองส่วนของผิวสัมผัส

3.3 Seizure กรณีนี้เป็นการเชื่อมติดของเนื้อวัสดุทำให้หยุดการเคลื่อนที่สัมพัทธ์ระหว่าง 2 ผิวสัมผัส ในที่นี้ถือว่าเป็นรูปแบบหนึ่งของการสึกหรอ เนื่องจากเกิดการเปลี่ยนรูปของผิวสัมผัสแม้จะไม่เกิดการสูญเสียเนื้อวัสดุ

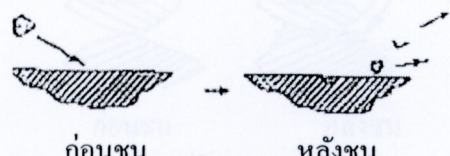
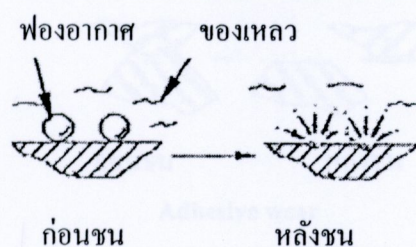
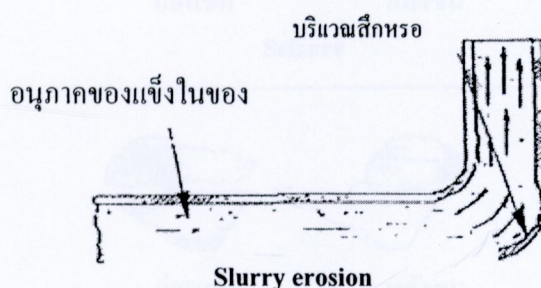
3.4 Galling เมื่อของแข็ง 2 ชนิดเคลื่อนที่ไหผ่านไป เกิดความเสียหายเนื่องจากการเปลี่ยนรูปแบบพลาสติกที่สัมผัส โดยไม่เกิดการเชื่อมติดร่วมด้วย

3.5 Oxidative Wear การเคลื่อนที่ในลักษณะไคลผ่านของสองผิวสัมผัสที่มีแผ่นฟิล์มออกไซด์ปกคลุมการเคลื่อนที่ขัดสีกันส่งผลให้ฟิล์มออกไซด์หลุดออก ผิวที่ถูกเปิดออก จึงเกิดออกไซด์ช้า การหลุดออกและการเกิดออกไซด์ช้าๆ นี้เองทำให้เกิดการสูญเสียนี้อวัสดุขึ้น กลไกการสึกหรอแต่ละชนิดได้ถูกแสดง ดังรูปที่ 2.24 [20]

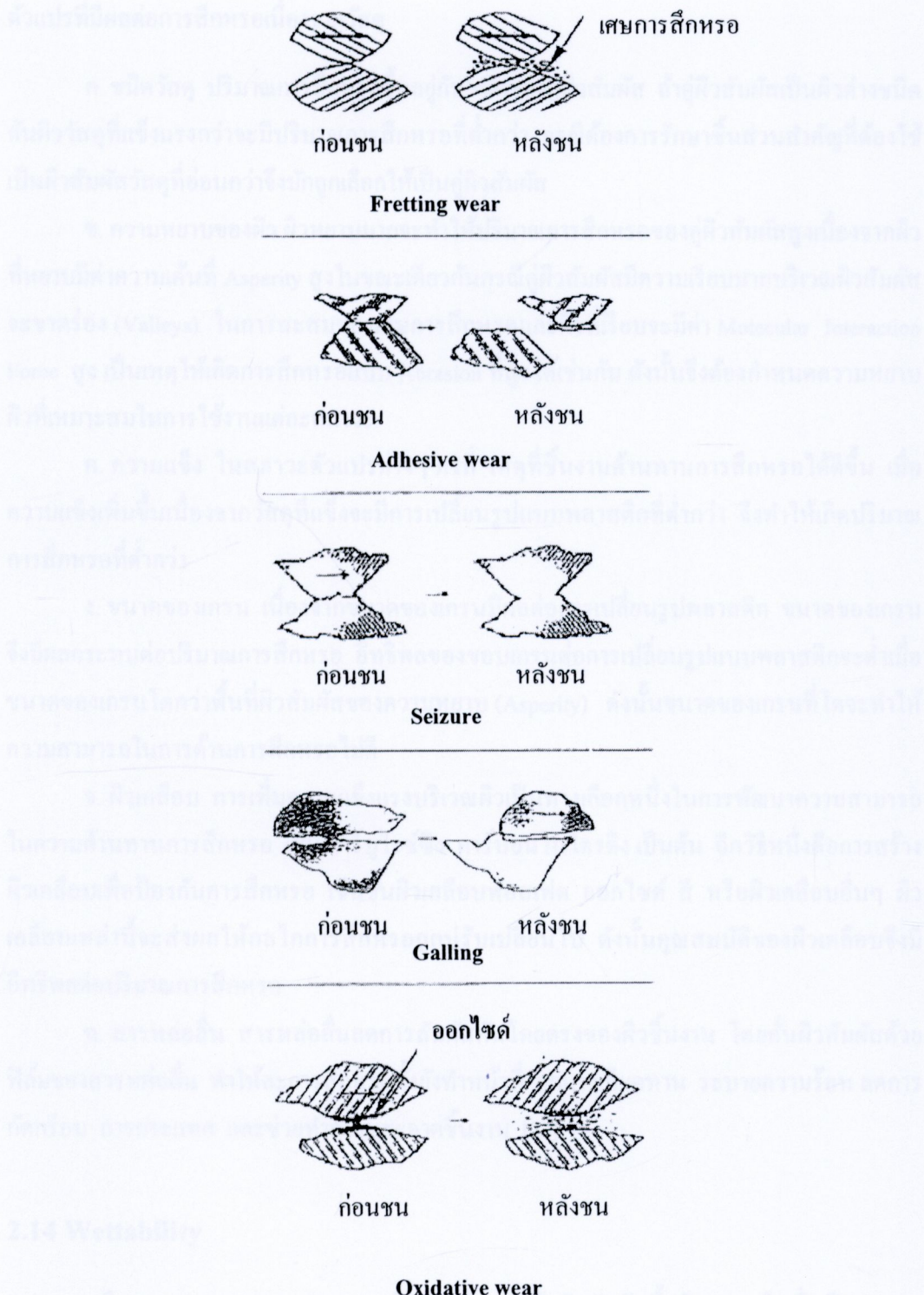


รูปที่ 2.22 แสดงการสึกหรอในกลุ่ม Abrasion [21]

Figure 2.22 shows the types of abrasive wear [21].

**Solid particle impingement****Cavitation****ลักษณะไอล****Fluid impingement erosion**

รูปที่ 2.23 แสดงการสึกหรอในกลุ่ม Erosive Wear [21]



รูปที่ 2.24 แสดงแบบการสึกหรอในกลุ่ม Adhesive Wear [21]

ตัวแปรที่มีผลต่อการสึกหรอเนื่องจากวัสดุ

ก. ชนิดวัสดุ ปริมาณการสึกหรอขึ้นอยู่กับชนิดของคุณภาพสัมผัส ถ้าคุณภาพสัมผัสเป็นผิวต่างชนิดกันผิววัสดุที่แข็งแรงกว่าจะมีปริมาณการสึกหรอที่ต่ำกว่า กรณีต้องการรักษาชิ้นส่วนสำคัญที่ต้องใช้เป็นผิวสัมผัสวัสดุที่อ่อนกว่าจึงมักถูกเลือกให้เป็นคุณภาพสัมผัส

ข. ความหมายของผิว ผิวหมายมากจะทำให้ปริมาณการสึกหรอของคุณภาพสัมผัสสูงเนื่องจากผิวที่หมายมีค่าความเด่นที่ Asperity สูงในขณะเดียวกันกรณีคุณภาพสัมผัสมีความเรียบมากบริเวณผิวสัมผัสจะขาดร่อง (Valleys) ในการสะท้อนของเศษการสึกหรอและผิวที่เรียบจะมีค่า Molecular Interaction Force สูง เป็นเหตุให้เกิดการสึกหรอแบบ Abrasion ที่สูงได้เช่นกัน ดังนั้นจึงต้องกำหนดความหมายผิวที่เหมาะสมในการใช้งานแต่ละสภาวะ

ค. ความแข็ง ในสภาวะตัวแปรต่างๆ คงที่ เหตุที่ขึ้นงานด้านทานการสึกหรอได้ขึ้น เมื่อความแข็งเพิ่มขึ้นเนื่องจากวัสดุที่แข็งจะมีการเปลี่ยนรูปแบบพลาสติกที่ต่ำกว่า จึงทำให้เกิดปริมาณการสึกหรอที่ต่ำกว่า

ง. ขนาดของเกรน เนื่องจากขนาดของเกรนมีผลต่อการเปลี่ยนรูปพลาสติก ขนาดของเกรนซึ่งมีผลกระทบต่อปริมาณการสึกหรอ อิทธิพลของขอบเกรนต่อการเปลี่ยนรูปแบบพลาสติกจะต่ำเมื่อขนาดของเกรนโตกว่าพื้นที่ผิวสัมผัสของความหมาย (Asperity) ดังนั้นขนาดของเกรนที่โตจะทำให้ความสามารถในการด้านการสึกหรอยไม่ดี

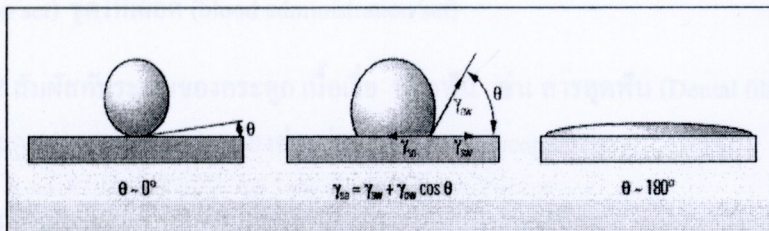
จ. ผิวเคลือบ การเพิ่มความแข็งแรงบริเวณผิวเป็นทางเลือกหนึ่งในการพัฒนาความสามารถในความด้านทานการสึกหรอ เช่น คาร์บอนไรซ์ชิง คาร์บอนไนโตรดิบีน อะกิวีชันนิ่งคือการสร้างผิวเคลือบเพื่อป้องกันการสึกหรอ เช่นชั้นผิวเคลือบฟอสเฟต ออกไซด์ สี หรือผิวเคลือบอื่นๆ ผิวเคลือบที่ล่อนี้จะส่งผลให้กลไกการสึกหรอถูกปรับเปลี่ยนไป ดังนั้นคุณสมบัติของผิวเคลือบจึงมีอิทธิพลต่อปริมาณการสึกหรอ

ฉ. สารหล่อลื่น สารหล่อลื่นลดการสัมผัสน้ำโดยตรงของผิวชิ้นงาน โดยคั่นผิวสัมผัสด้วยฟลีนของสารหล่อลื่น ทำให้ลดการสึกหรอทั้งยังทำหน้าที่ ลดแรงเสียดทาน รับน้ำความร้อน ลดการกัดกร่อน การกระแทก และช่วยทำงานสะอาดชิ้นงาน [22]

2.14 Wettability

Wetting คือความสามารถของของเหลวในการรักษาหน้าสัมผัสน้ำกับพื้นผิวของแข็ง ซึ่งเป็นผลจากปฏิสัมพันธ์ระหว่างโมเลกุลโดยระดับขั้นของ Wetting ขึ้นกับสมดุลแรงระหว่างแอดไฮชัน (Adhesion) และ (Cohesion) Wetting มีความสำคัญในการยึดติดกันของวัสดุ 2 ชิ้น แรงยกตัว (หรือ capillary effect) ก็เป็นผลมาจากการ Wetting และแรงพื้นผิวที่กำหนด Wetting รูปร่างของหยดน้ำของเหลวบนพื้นผิว

ของแข็งจะมีรูปร่างเป็นรูปทรงหยดน้ำค้าง ดังรูปที่ 2.25 มุมสัมผัสเป็นมุมระหว่างระนาบของปฏิกิริยาสัมพันธ์ของของเหลว-ก้าชกับระนาบของปฏิกิริยาสัมพันธ์ของเหลว-ของแข็ง มุมสัมผัสนี้เป็นผลมาจากการสมดุลระหว่างแรงแอดไฮดรอนิกกับแรงโกรหิชั่น



รูปที่ 2.25 แสดงแสดงมุมสัมผัส (Contact angle) [23]

มุมสัมผัสนี้จะบอกแนวโน้มที่หยดของเหลวจะกระจายตัวในพื้นผิวเรียบของของแข็ง โดยมุมสัมผัสจะแปรผกผันกับความสามารถในการกระจายตัวของของเหลวมุมสัมผัสถี่น้อยกว่า 90° โดยทั่วไปจะหมายถึง ความสามารถในการกระจายตัวหรือ wetting ของพื้นผิวอยู่ในระดับดีมาก มุมสัมผัสถี่มากกว่า 90° โดยทั่วไปจะหมายถึง ความสามารถในการกระจายตัวหรือ wetting ของพื้นผิวอยู่ในระดับไม่ดีและของเหลวจะสัมผัสน้ำพื้นผิวเพียงเล็กน้อยและจะต้องเป็นทรงหยดน้ำ ค้าง สำหรับกรณีถ้าของเหลวนี้เป็นน้ำ พื้นผิวที่มีการกระจายตัวได้ดีจะถูกเรียกว่า hydrophilic และพื้นผิวที่มีการกระจายตัวไม่ดีจะถูกเรียกว่า hydrophobic พื้นผิวที่มีการกระจายตัวไม่ดีอย่างยิ่ง bard (Super hydrophobic) จะให้มุมสัมผัสถี่มากกว่า 150° ทำให้มีหน้าสัมผัสระหว่างของเหลวและของแข็งน้อยมากๆ [24]

2.15 การทดสอบทางชีวภาพ

การจำแนกประเภทของวัสดุอุปกรณ์การแพทย์ พิจารณาจากบริเวณที่มีการสัมผัสและระยะเวลาในการสัมผัสน้ำร่างกาย ซึ่งจะสามารถจำแนกได้ดังนี้

แบบที่ 1 จำแนกตามบริเวณที่มีการสัมผัสน้ำร่างกาย แบ่งได้ 3 ประเภท

1.1 ประเภทที่สัมผัสน้ำร่างกาย (Surface-contacting devices) แบ่งได้ 3 ชนิด

1.1.1 สัมผัสน้ำร่างกาย เช่น แผ่นวัสดุสำหรับแปรงฟัน เทปสำหรับยึดอิเล็กโทรด

1.1.2 สัมผัสน้ำร่างกายที่เป็นเยื่อเมือกของร่างกาย (Mucosal membrane) โดยทั่งหมดหรือบางส่วนของวัสดุที่ต้องสัมผัสน้ำร่างกาย เช่น คอนแทคเลนส์

1.1.3 สัมผัสกับส่วนที่เป็นบาดแผล เช่น วัสดุตกแต่งแผล (Wound dressing)

1.2 ประเภทที่สัมผัสภายนอกร่างกาย (External communicating devices) แบ่งได้ 3 ชนิด

1.2.1 สัมผัสกับเลือด โดยทางอ้อม เช่น ชุดให้สารละลายทางหลอดเลือด (Solution administration set) ชุดให้เลือด (blood administration set)

1.2.2 สัมผัสกับระบบของกระดูก เนื้อเยื่อ หรือฟัน เช่น สารอุดฟัน (Dental filling materials) กล้องส่องกระดูก (Arthroscopes) กล้องส่องห้องท้อง (Laparoscopes)

1.2.3 สัมผัสกับระบบไหลเวียนโลหิต เช่น สายสวนหลอดเลือด (Intravascular catheters)

1.3 วัสดุฝังใน (Implant devices) เป็นวัสดุอุปกรณ์ที่ต้องผ่าตัดใส่เข้าไปในร่างกาย แบ่งได้ 2 ชนิด

1.3.1 สัมผัสกับส่วนที่เป็นเนื้อเยื่อกระดูก เช่น ข้อต่อสะโพกเทียม (Artificial hip joint) และ อุปกรณ์ยึดตรึงกระดูกภายใน (Internal fixator)

1.3.2 สัมผัสกับเลือด โดยมีวัตถุประสงค์ของการใช้งานเพื่อสัมผัสกับเลือดโดยตรง เช่น ลิ้นหัวใจเทียม (Heart valves)

การทดสอบความเป็นพิษ (In vitro Cytotoxicity Testing) การทดสอบความเป็นพิษเป็นวิธีการทดสอบที่ดำเนินการภายในห้องปฏิบัติการ (In vitro) ซึ่งจัดเป็นวิธีการทดสอบเบื้องต้น (screening test) ที่จำเป็นสำหรับวัสดุอุปกรณ์การแพทย์ทุกประเภทท้องผ่านการทดสอบก่อนจะดำเนินการในขั้นตอนต่อไป เนื่องจากเป็นวิธีที่สะดวก รวดเร็ว และค่าใช้จ่าย ไม่สูงมาก วิธีการทดสอบมีหลายวิธี เช่น

วิธี Test on Extracts เป็นการทดสอบเพื่อประเมินการตอบสนองของเซลล์เพาะเลี้ยงต่อสิ่งที่สกัดได้จากตัวอย่างที่ทดสอบ โดยการประเมินผลจากการถูกทำลายของเซลล์ วิธีนี้เหมาะสมสำหรับวัสดุอุปกรณ์ทางการแพทย์ทุกประเภท

วิธี Agar overlay เป็นการทดสอบความเป็นพิษของตัวอย่าง โดยการทดสอบตัวอย่างกับเซลล์ที่เพาะเลี้ยงในอาหารแข็ง (Agar media) และประเมินความเป็นพิษของตัวอย่างต่อเซลล์ โดยพิจารณาการถูกทำลายของเซลล์ในอาหารแข็ง วิธีนี้เหมาะสมกับวัสดุอุปกรณ์ทางการแพทย์ที่อยู่ในรูปของเหลว

วิธีอื่นๆ เช่น MTT assay

คุณสมบัติสำคัญที่ได้รับความสนใจและเป็นที่ต้องการสำหรับวัสดุที่ใช้ในข้อเทียนได้แก่ ความเข้ากันได้ทางชีวภาพขององค์ประกอบทางเคมีของวัสดุ เพื่อหลีกเลี่ยงการเกิดปฏิกิริยาภัยเนื้อเยื่อ นอกจากนี้ ยังมีความทนทานที่ดีเยี่ยมต่อการกัดกร่อนเมื่อยูนิในร่างกายมนุษย์ ความแข็งแรงที่เพียงพอต่อการรับน้ำหนักของข้อ ค่าโมดูลัสที่ต่ำเพื่อลดการสลายตัวของกระดูก และความทนทานสูงต่อการเกิดอนุมูลจาก การซัลฟี การศึกษาวิจัยพฤติกรรมทางชีววิทยาของธาตุที่เป็นโลหะส่วนหนึ่งพบว่าการ เกิดปฏิกิริยาของโลหะฟังในที่เป็นอันตรายต่อเนื้อเยื่อ มีสาเหตุจากการปลดปล่อยอิออนโลหะของ วัสดุซึ่งขึ้นกับอัตราการกัดกร่อนและการละลายของสารที่หลุดออกมารโดยการศึกษาวิจัย การกัดกร่อนแบบ *In vivo* พบว่าธาตุโลหะที่เป็นพิษรุนแรงต่อเซลล์และเนื้อเยื่อได้แก่ วานเดียม (V) nickel (Ni) ทองแดง (Cu) โคงอลต์ (Co) [25]

2.16 การสำรวจงานวิจัยที่เกี่ยวข้อง

ผลกระทบของการรับอนบนการเคลือบผิวด้วยไทเทเนียมอโลมิเนียมคาร์บอนในไตรดิบิวธีรีแอคทีฟ แมกนีตรอนสปีดเตอริงเพื่อให้สามารถยึดอ่ายุการใช้งานของเครื่องมือ การเคลือบผิวเป็นการเพิ่มความ ต้านทานต่อการสึกหรอและการสึกกร่อน การเคลือบผิวโดยวิธีการตกตะกอนของไอสารที่ได้มารโดย วิธีการทางฟิสิกส์หรือวิธีการตกตะกอนของไอสารที่ได้มารโดยวิธีการทางเคมี เป็นวิธีหนึ่งที่ใช้กัน อย่างกว้างขวางในอุตสาหกรรม เพื่อเป็นการเพิ่มประสิทธิภาพของการทำงานของไทเทเนียมในไตรดิบิวธีรี อโลมิเนียมได้ถูกนำมาใช้เพื่อเป็นการเพิ่มประสิทธิภาพอย่างไรก็ตามการใช้งานร่วมกับอะลูมิเนียมนี้ ยังทำให้เกิดสัมประสิทธิ์แรงเสียดทานที่สูง ในระบบการเคลือบผิว ดังนั้นจึงมีการเพิ่มปริมาณของ คาร์บอนเข้าไปในไทเทเนียมในไตรดิบิวธีรี อโลมิเนียมที่เป็นวิธีการที่ให้ประสิทธิภาพนี้ ซึ่งจะทำให้การต้านทาน การสึกหรอมีประสิทธิภาพมากขึ้น ส่วนผสมของปริมาณของคาร์บอนในระดับต่างๆ กัน จะให้ โครงสร้างผลึก และคุณสมบัติประจำตัวแตกต่างกันไป ในการใช้ก๊าซมีเทน มีผลทำให้ความแข็งของ การเคลือบเพิ่มขึ้น จึงมีความจำเป็นต้องทำความเข้าใจในอิทธิพลของปริมาณของคาร์บอนที่มีผลต่อ โครงสร้าง ในการศึกษาครั้งนี้ได้มีการเคลือบผิวด้วยไทเทเนียมอโลมิเนียมคาร์บอนในไตรดิบิวธีรีแอคทีฟ แมกนีตรอนสปีดเตอริง ด้วยส่วนประกอบปริมาณคาร์บอนต่างๆ ได้มีการพบว่าปริมาณของ คาร์บอนมีผลต่อโครงสร้างจุลภาคอย่างมาก การเปลี่ยนแปลงที่สำคัญของโครงสร้างจุลภาค ถูกพบว่า เมื่อมีการเพิ่มปริมาณของคาร์บอน โครงสร้างจุลภาคของการเคลือบผิวจะเปลี่ยนแปลงจาก NaCl type crystalline structure เป็น crystalline+amorphous nanocomposite structure และจะเปลี่ยนต่อไปจนเข้า ใกล้ amorphous structure ดังนั้นในการเคลือบผิวด้วยไทเทเนียมอโลมิเนียมคาร์บอนในไตรดิบิวธีรี จะได้ ความแข็งสูงสุดมีค่าเท่ากับ 2443 HV 25g ผิวเคลือบที่ได้จะให้ typical nanocomposite structure ที่ ระดับ ปริมาณของคาร์บอน ที่ 26.69 % และจะสังเกตเห็นการลดลงของสัมประสิทธิ์แรงเสียดทาน

structure แล้วจะเปลี่ยนต่อไปจนเข้าใกล้ amorphous structure ดังนั้นในการเคลือบผิวด้วยไทเทเนียมอลูมิเนียมคาร์บอนไนไตรด์ จะได้ความแข็งสูงสุดมีค่าเท่ากับ 2443 HV 25g ผิวเคลือบที่ได้จะให้ typical nanocomposite structure ที่ระดับ บริมาณของการรับอน ที่ 26.69 % และจะสังเกตเห็นการลดลงของสัมประสิทธิ์แรงเสียดทานของการเคลือบ TiAlCN อย่างเห็นได้ชัด จาก 0.18-0.19 เมื่อปริมาณของการรับอนเข้าถึง 26.69 % และเมื่อมีการเพิ่มขึ้นของบริมาณของการรับอน จะเกิดผลกระทบน้อยต่อสัมประสิทธิ์แรงเสียดทาน ที่ถูกลดลงเรื่อยๆต่อไป [3]

การวิเคราะห์ และ คุณสมบัติทางกล ของการเคลือบผิวด้วยไทเทเนียมอลูมิเนียมคาร์บอนไนไตรด์โดยวิธีอาร์ค ไอโอน เพลทติ้ง การศึกษาการเคลือบผิวด้วยไทเทเนียมอลูมิเนียมคาร์บอนไนไตรด์ บนเหล็ก SKD 11 โดยวิธีอาร์ค ไอโอน เพลทติ้ง โดยใช้ปืน ไทเทเนียมอลูมิเนียม จากการทดลองพบว่า การเพิ่มปริมาณของการรับอน ทำได้จากการเพิ่มอัตราส่วนของแก๊สเมเทนกับไนโตรเจน ซึ่งจะส่งผลทำให้ความแข็งเพิ่มขึ้น อย่างไรก็ตามถ้าปริมาณของการรับอนเพิ่มมากขึ้นเกินไป จะทำให้อะตอนของ การรับอนไปแทนที่อะตอนของไนโตรเจน เพราะว่าอะตอนของการรับอนมีเวลenuชั้นอยกว่าอะตอนของไนโตรเจน จึงส่งผลทำให้ความแข็งลดลง เช่นที่บริมาณการรับอน 0.48 บริมาณในไนโตรเจน 0.52 จะให้ความแข็งสูงสุดมีค่าเท่ากับ 41 จิกะปาสคาล แต่ถ้าเพิ่มปริมาณการรับอน 0.67 บริมาณในไนโตรเจน 0.33 ความแข็งจะลดลงมีค่าเท่ากับ 35 จิกะปาสคาล ส่วนในเรื่องสัมประสิทธิ์แรงเสียดทาน จะแปรผันตามปริมาณของการรับอน จะมีค่าอยู่ในช่วงระหว่าง 0.8–0.38 จะพบสัมประสิทธิ์แรงเสียดทานต่ำที่สุดที่ 0.38 ที่บริมาณการรับอนมีค่าเท่ากับ 1 และจากการทดลองที่พบว่าปริมาณของการรับอนมีผลต่อการสึกหรอคัวยเช่นกัน พบว่าการสึกหรอเกิดขึ้นน้อยที่สุดในกรณีที่มีปริมาณการรับอนมีค่าเท่ากับ 1 [4]

ผลกระทบของไนโตรเจนบนการรับอนที่ต่ำของการเคลือบผิวด้วยไทเทเนียมอลูมิเนียมไนไตรด์ การเคลือบผิวด้วยไทเทเนียมอลูมิเนียมไนไตรด์ ด้วยส่วนประกอบของปริมาณไนโตรเจน ในระดับต่างๆกัน โดยวิธีรอกฟ์แมกนีตอรอนสปีดเตอริง เมื่อเพิ่มปริมาณของไนโตรเจน ให้มากขึ้นแล้ว สัดส่วนของ อลูมิเนียมต่อไทเทเนียม และ ปริมาณไนโตรเจน ของการเคลือบจะเพิ่มขึ้นตามไปด้วย พนว่า hexagonal AlN Phase จะคงผลึกภายในไนโตรเจนที่ 8 ลูบนาคก์เซนติเมตรต่อนาที และจะช่วยให้การจัดเรียงตัวของกรนละเอียดขึ้น จะเกิดเป็นผลต่อมานี้ในรูป denser multiphase ส่วนในกรณีที่มีปริมาณไนโตรเจนที่ 2 ลูบนาคก์เซนติเมตรต่อนาทีจะแสดงออกเป็น porous structure (โครงสร้างที่เป็นรู) ส่งผลทำให้ความแข็งแรงการเคลือบผิวด้วยไทเทเนียมอลูมิเนียมไนไตรด์ลดลง ผลกระทบการทดลองพบว่า ปริมาณไนโตรเจน จะมีผลมากต่อส่วนประกอบโครงสร้างและคุณสมบัติ

ของการเคลือบผิวการเพิ่มขึ้นของปริมาณในไตรเจน เป็นผลทำให้มีการเพิ่มขึ้นของสัดส่วน อัลูมิเนียม ต่อไทเทเนียม และในไตรเจน แต่อัตราการเคลือบผิวจะลดลง มีการพบว่า โครงสร้างหลักของการเคลือบจะเปลี่ยนแปลงจาก fcc ไทเทเนียมในไตรต์ เมื่อในไตรเจนมีปริมาณ 1-4 ลูกบาศก์เซนติเมตร ต่อนาที ไปเป็น TiN+hcp AlN Multiphase structure เมื่อในไตรเจนมีปริมาณ 8 ลูกบาศก์เซนติเมตร ต่อนาที การเคลือบผิวด้วยไทเทเนียมอัลูมิเนียมในไตรต์ เมื่อในไตรเจนมีปริมาณ 2 ลูกบาศก์เซนติเมตรต่อนาที และจะแสดงออกมาเป็น porous columnar microstructure ซึ่งเป็นผลทำให้ความแข็งมีค่าเท่ากับ 1,750 HV อย่างไรก็ตามเกรนจะละเอียดขึ้น จะถูกพินิจจะที่ปริมาณของในไตรเจนถูกเพิ่มขึ้นจาก 2-8 ลูกบาศก์เซนติเมตรต่อนาที ส่งผลทำให้โครงสร้างของไทเทเนียม อัลูมิเนียมในไตรต์เกิดการปรับปรุงของเกรน และที่ปริมาณในไตรเจนมีปริมาณ 8 ลูกบาศก์เซนติเมตรต่อนาที ความแข็งมีค่าเท่ากับ 3,080 HV [5]

ผลกระทบความเรียบผิวของไทเทเนียมอัลลอย (Ti-6Al-4V) ที่มีผลต่อการตอบสนองของไกระดูក และการดูดซับของโปรตีน ผลกระทบความเรียบผิวของไทเทเนียมอัลลอย (Ti-6Al-4V) ที่มีผลต่อการตอบสนองของไกระดูกและการดูดซับของโปรตีนทั้งในระดับสัมผัสและระดับยาวได้จากการศึกษาความเรียบผิวที่มีค่า Ra ดังนี้ 0.320 ไมครอนที่กระดายทรายเบอร์ 1,200 0.490 ไมครอนที่กระดายทรายเบอร์ 600 และ 0.874 ไมครอน ที่กระดายทรายเบอร์ 180 ซึ่งผลจากการทดลองในเรื่องการตอบสนองของไกระดูกภายใต้การทดลองที่มีการอบในหلامๆช่วงเวลา การยึดเกาะของเซลล์ พนว่าความเรียบของผิวนี้มีผลต่อการยึดเกาะของจำนวนของเซลล์ไกระดูก ที่ความเรียบผิว 0.874 ไมครอน จำนวนการยึดเกาะของเซลล์พนมากที่สุด การเจริญเติบโตของเซลล์ พนว่าความเรียบของผิวนี้มีผลกระทบน้อยมากต่อเซลล์ไกระดูก แต่อย่างไรก็ตามที่ความเรียบผิว 0.874 ไมครอน เซลล์ไกระดูกจะเจริญเติบโตได้ดีที่สุด การแบ่งตัวของเซลล์ พนว่าความเรียบของผิวนี้มีผลต่อการแบ่งตัวของเซลล์ไกระดูก ที่ความเรียบผิว 0.874 ไมครอน การแบ่งตัวของเซลล์ไกระดูกพนมากที่สุดส่วนในเรื่องของการดูดซับโปรตีนแอลบูมินและไฟโนรเนคติน ถูกทดสอบโดยการเอ็กซ์เรย์โดยใช้เทคนิคเอ็กซ์ฟีออสและการน้ำยาธาร์สี พนว่าทั้งสอง 2 วิธีดังกล่าวให้ผลการทดลองที่คล้ายคลึงกันดังนี้ การดูดซับโปรตีนแอลบูมิน พนว่าความเรียบของผิวนี้มีผลต่อการการดูดซับโปรตีนแอลบูมิน ที่ความเรียบผิว 0.320 ไมครอน จะสามารถดูดซับโปรตีนแอลบูมินได้ดีที่สุดการดูดซับโปรตีนไฟโนรเนคติน พนว่าความเรียบของผิวนี้มีผลต่อการการดูดซับโปรตีนไฟโนรเนคติน ที่ความเรียบผิว 0.874 ไมครอน จะสามารถดูดซับโปรตีนโนรเนคตินได้ดีที่สุด ดังนั้นจึงสรุปได้ว่าความเรียบผิวของไทเทเนียมอัลลอย มีผลต่อการยึดเกาะของเซลล์ การเจริญเติบโตของเซลล์ การแบ่งตัวของเซลล์ การดูดซับโปรตีนแอลบูมินและไฟโนรเนคติน [26]

จากการสำรวจงานวิจัยที่เกี่ยวข้องพบว่าการเพิ่มปริมาณของการรับอนด้วยวิธีการใช้ก้าชมีแทน เจ้าไปในไทยเนี่ยมอัลลอห์ด้วยวิธีการเคลื่อนผู้แบบต่างๆพบว่าด้วยวิธีการใช้ก้าชมีแทน สามารถเพิ่มความแข็ง ลดสัมประสิทธิ์แรงเสียดทาน และทำให้การด้านท่านการสักหรือดีขึ้น แต่ยังไงก็ตามปริมาณการรับอนที่เดิมลงไปก็ต้องมีปริมาณที่เหมาะสม เพราะถ้ามีมากเกินไปจะทำให้อะตอนของการรับอนไปแทนที่อะตอนของใบโตรเจน ซึ่งจะส่งผลทำให้ความแข็งลดลง ส่วนปริมาณใบโตรเจนจะมีอิทธิพลทำให้การจัดเรียงด้วยของกรนละเอียด ถ้ามีปริมาณน้อยเกินไปจะทำให้โครงสร้างที่ได้มีลักษณะเป็นรูสั่งผลทำให้ความแข็งลดลงและความเรียบผิวมีผลต่อการยึดเกาะของเซลล์ การเจริญเติบโตของเซลล์ การแบ่งตัวของเซลล์ การดูดซับโปรดตีนแอลูมิโนและไฟฟ้าบนคติน